

الباب الثاني

الخواص الطبيعية للمركبات الضخمة

obeikanal.com

الخواص العامة لمركبات الجزيئات الضخمة :

تتميز مركبات الجزيئات الضخمة ببعض الخواص العامة التي تسمح بفصل كيمياء هذه المركبات إلى علم مستقل. فلا يمكن شرح هذه الخواص إستناداً إلى مفاهيم الكيمياء الكلاسيكية. لذا فمن الضروري أثاء دراسة خواصها إدخال مفاهيم جديدة وعامة بالنسبة لفصيلة هذه المركبات .

الوزن الجزيئي للبوليمرات :

إن الميزة الأولى لكيمياء مركبات الجزيئات الضخمة هي إحتوائها على مفهوم جديد تماماً عن الوزن الجزيئي.

فقيمة الوزن الجزيئي في مركبات الجزيئات الصغيرة عبارة عن ثابت يعين ذاتية المركب الكيميائي، ويدل تغير الوزن الجزيئي دائماً على الإنتقال إلى مادة أخرى كما يرافقه تغير ملحوظ في الخواص. وعندما ينتقل أحد أنواع الفصيلة المتجانسة (homologous series) إلى نوع آخر (أى أثاء تغير قيمة الوزن الجزيئي) يحدث تغير في الخواص الفيزيائية للمادة يمكن الإستفادة منه في فصل هذه المتجانسات (homologues) بعضها عن بعض.

وتتفق تغيرات الخواص الفيزيائية في الفصيلة المتجانسة المعطاة مع النسبة بين الفرق التجانسي ومقدار الوزن الجزيئي للمتجانس (homologue).

ونرى في الجدول (7) الذي يتضمن درجات غليان بعض الهيدروكربونات أن قيمة هذه النسبة تتراقص بإستمرار كلما إزداد الوزن الجزيئي كما يتراقص أيضاً الفرق بين درجة الغليان. فمثلاً يعادل الفرق بين نقطتي غليان الميثان والإيثان 73 درجة مئوية، بينما يعادل 8 درجات فقط بالنسبة لجينتريا كونتان ولدوتريا كونتان. ويكون الفرق التجانسي لبولي الإيثيلين الذي يبلغ وزنه الجزيئي

أقل من 1% من الوزن الجزيئي. فـى حين يعادل أقل من 0.1 لنفس البوليمير الذى يبلغ وزنة الجزيئى ~ 14000. ومن الواضح، أنه عندما تكون القيمة النسبية للفرق التجانسى صغيرة جداً، يكون تغير الخواص الفيزيائية غير ملحوظ أثناء الانتقال من قرین إلى آخر. ويعطينا الخط البيانى الموجود فى الشكل (2) صورة واضحة عن هذه الحالة. وهكذا يتضاءل الإختلاف فى الخواص الفيزيائية بين القرائين المستقلة عند إزدياد الوزن الجزيئى بحيث تفقد هذه القرائين (يطلق عليها إسم القرائين البوليميرية) ذاتيتها عندما يصبح وزنها الجزيئى كبيراً جداً.

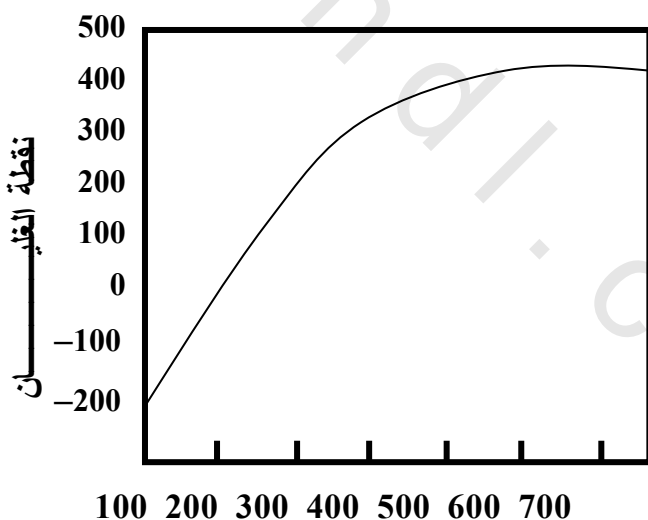
جدول (7)

درجات غليان الهيدروكربونات

| الهيدروكربون | الصيغة | الوزن الجزيئي | الفرق التجانسى إلى الوزن الجزيئي | درجة الغليان | ارتفاع درجة الغليان |
|-------------------|----------------------------------|---------------|----------------------------------|--------------|---------------------|
| الميثان | CH_4 | 16 | - | -161.6 | - |
| الإيثان | C_2H_6 | 30 | 47~ | -88.6 | 73 |
| البروبان | C_3H_8 | 44 | 32~ | -42.1 | 46.5 |
| البوتان | C_4H_{10} | 58 | 24~ | -0.5 | 41.6 |
| البنتان | C_5H_{12} | 72 | 20~ | 36 | 36.5 |
| جنتريا الكونتان | $\text{C}_{31}\text{H}_{64}$ | 436 | - | 302 | - |
| دوتريا الكونتان | $\text{C}_{32}\text{H}_{66}$ | 450 | 3.1 | 210 | 8 |
| بناتريا الكونتان | $\text{C}_{35}\text{H}_{72}$ | 492 | - | 291 | - |
| هكساتريا الكونتان | $\text{C}_{36}\text{H}_{74}$ | 506 | 2.7 | - | - |
| بول الإيشلين | $\text{C}_{100}\text{H}_{202}$ | 1402 | - | - | - |
| بول الإيشلين | $\text{C}_{101}\text{H}_{204}$ | 1416 | 1~ | - | - |
| بول الإيشلين | $\text{C}_{1000}\text{H}_{2002}$ | 14002 | - | - | - |
| بول الإيشلين | $\text{C}_{1001}\text{H}_{2004}$ | 14016 | 0.1~ | - | - |

لا يمكن في الوقت الحاضر فصل خليط من القرائن البوليمرية إلى مواد مستقلة ونقية كيميائياً، في حين يمكن فصل هذا الخليط إلى أجزاء (fractions) فقط، تدخل في كل منها مجموعة من القرائن البوليمرية ذات الأوزان الجزيئية المتقاربة. ونتيجة لذلك، يكون الوزن الجزيئي لمركبات الجزيئي الضخمة عبارة عن قيمة إحصائية وسطية وليس قيمة ثابتة تحدد الخواص الذاتية للمركب المعلوم. ولهذا دخل مفهوم الوزن الجزيئي الوسطى وكيمياً مركبات الجزيئات الضخمة.

إن المفهوم الجديد للوزن الجزيئي، كمقدار إحصائي وسطي، يقلل إلى حد معلوم من أهمية هذا المقدار أثناء تحديد خواص المركبات الكيميائية. إذ بعد أن يصل الوزن الجزيئي للبوليمر إلى قيمة معينة يفقد دوره كعامل هام في تعين غالبية الخواص الفيزيائية للمادة.



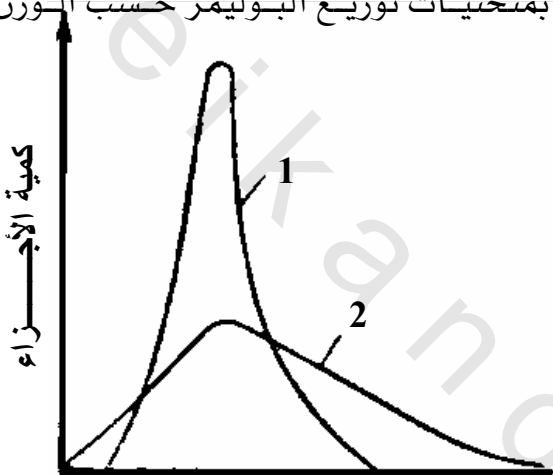
الوزن الجزيئي

شكل (2) علاقة نقطة درجة غليان الميدروكريبونات بالوزن الجزيئي

إن قيمة الوزن الجزيئي الوسطى للبوليمر لا يمكن أن تعطينا فكرة عن خواص هذا البوليمر بصورة موحدة ذلك لأنه يمكن لعينات مختلفة من البوليمر ذات وزن جزئي وسطى متساوٍ أن تختلف بنسبة كمية البوليمرات المتجانسة والمتميزة.

وقد تم إدخال مفهوم درجة التبعثر المتعدد (polydispersion) لتفسير التوزع الكمي للبوليمرات المتجانسة. وتتعين درجة التبعثر المتعدد للبوليمر بالقيم الحدية لأوزان الأجزاء (fractions) الجزيئية الوسطية كما يعبر عنها بمنحنى توزيع البوليمر حسب الوزن الجزيئي (شكل 3).

ونجد على الشكل 3 منحنى توزيع حسب الوزن الجزيئي لبوليمرتين ذوي درجة بلمرة وسطى واحدة إلا أنهما يختلفان في درجة التبعثر المتعدد. ونلاحظ أن البوليمر الممثل بالمنحنى الباري 1 أكثر تجانساً من حيث الوزن الجزيئي من البوليمر الممثل بمنحنى التوزيع 2.



شكل (3)
منحنى توزيع حسب الأوزان الجزيئية

ولا تقل درجة التبعثر المتعدد أهمية عن الوزن الجزيئي الوسطى. وهناك أيضا صفة أخرى لمركبات الجزيئات الضخمة مرتبطة بشكل مباشر بتغير الخواص الفيزيائية أثناء إزدياد الوزن الجزيئي. إذ يتراقص ضغط أبخرة المركبات الكيميائية بإزدياد الوزن الجزيئي، ويهدّأ هذا الضغط عملياً حتى الصفر قبل أن يصل الوزن الجزيئي إلى

قيمة المميزة للمركبات ذات الجزيئات الضخمة، إذ عندما تصل درجة الحرارة إلى قيمة معينة يحدث التفكك الحراري للمادة، كما تتحطم الروابط الكيميائية، ويتغير تجمع الذرات. إذن فمركبات الجزيئات الضخمة غير طيارة عملياً. ولا يمكن أن تتحول إلى الحالة الغازية.

وينتتج من ذلك أن الفرق بين مركبات الجزيئات الضخمة ومركبات الجزيئات الصغيرة هو أن الأخيرة يمكنها أن توجد على ثلاث حالات: الحالات الصلبة والسائلة والغازية، في حين توجد مركبات الجزيئات الضخمة في حالتين فقط: هما الصلبة والسائلة.

تعتبر الكيمياء الفيزيائية مصدراً لاكتشاف أشكال وأحجام الجزيئات الضخمة ولتقدير إستجابة هذه الخواص للبيئة المحيطة بها وللربط بين الخصائص والتركيب. وبمعرفة المكونات والتركيب يمكن التعرف على الفعاليات المختلفة لتلك الجزيئات. الجزيئات الضخمة المخلقة تكون عموماً أبسط من تلك الطبيعية. وعلى الرغم من النجاح في تحضير البروتينات فإن هذا التمييز يعتبر نظاماً قدماً. وعلى الرغم من كون البوليمرات المخلقة بسيطة نسبياً فإنه من الضروري معرفة طبيعة هذه المادة على الأقل إلى حد معرفة أطوال السلسل البوليمرية. ونجد أنه من الواجب القدرة على إيجاد رابطة بين الخصائص الفيزيائية مثل المرونة. وعلاقتها بالتركيب الكيميائي للبوليمر مثل طول السلسلة ودرجة التكرис.

a - العجم والشكل :

التشتت بالأشعة السينية توضح وضع كل ذرة في الجزيئات المعقدة العالية التعقيد. لماذا كان من الضروري استخدام تقنية أخرى؟ يمكن الإجابة على هذا السؤال في مستويات متعددة. ففي المقام الأول تعتبر العينة كأنها خليط من بوليمرات لها مختلف الأطوال من السلسل ودرجات التكريس. والتي فيها تستخدم تحلل التشتيت بالأشعة السينية

معطياً بعضاً من المتوسط العشوائي. والمشكلة المتعلقة هي أنه على الرغم من أن كل الجزيئات متشابهة فإنه من المستحيل الحصول على بلورة واحدة وبالتالي يكون من الصعوبة بداية قياسات أشعة X ومن جهة أخرى فإن هذه التقنية مكلفة وتحتاج إلى وقت كبير وكذلك إلى إمكانيات حسابية سفلية.

وعلى الرغم من أن العمل على الـ hemoglobin والـ enzymes، الـ DNA أظهرت إلى أي حد تكون القراءات مثيرة بدرجة كبيرة فإن المعلومات الواردة غير كافية.

فعلى سبيل المثال ما يقال عن شكل الجزيء في ظروفه الطبيعية وما يقال عن الطريقة التي يتغير بها شكل الجزيء ومدى استجابته للظروف البيئية المحيطة به.

فالشكل والوظيفة التي يقوم بها الجزيء متلازمان ومن المهم أن نعرف كيف أن الجزيئات البيولوجية والتي تحمل كلاً من المجموعات الحمضية والقاعدية ومدى استجابتها للرقم الهيدروجيني للمحلول. وبالمثل فإنه من المهم تقدير العملية التي يتغير بها الجزيئات الضخمة الطبيعية من شكل منتظم إلى شكل أقل إنتظاماً.

وتحويل العينات الطبيعية للجزئيات الضخمة إلى شكل أقل إنتظاماً يكون في الغالب مصحوباً بفقدان في الوظيفة ولكنها يمكن أن تكون في بعض الأحيان خطوة مهمة لاستكمال الوظيفة ويوضح ذلك في الـ (DNA).

وهناك طريقة غير مباشرة للاحظة حجم وشكل الجزيئات الضخمة وهي استخدام الميكروسكوب الإلكتروني يمكن الحصول على درجة إنحلال تصل إلى 500 بيكومتر (5 إنجستروم). وبذلك يمكن توضيح التفاصيل الدقيقة لشكل الجزيئيات الضخمة. وهناك تحديات عنيفة فحالة العينة تكون غير طبيعية بدرجة كبيرة.

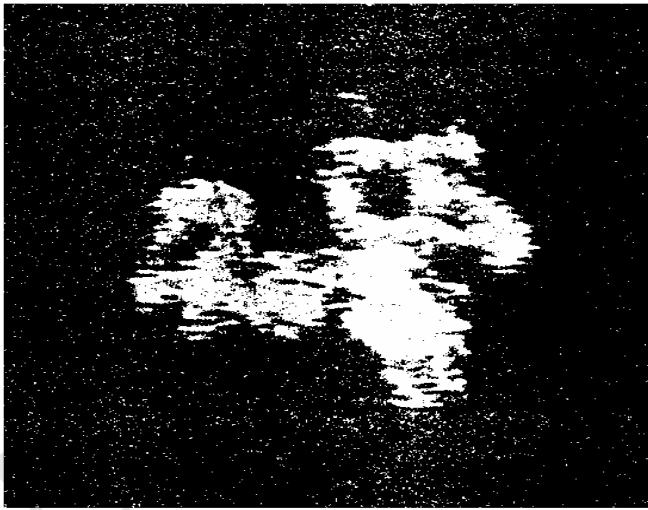
فلللحصول على صورة بعض أنواع التكاثر للجزئي. فالتكاثر عبارة عن سبيكة نحصل عليها برش العينة بذرات العنصر إما مباشرة أو بعد تقطية الجزيئات الضخمة ببروتين صغير أو جزيئات لمنظف الشكل (4) حصلنا عليه كطريقة أولى المسح الميكروسکوب الإلكتروني تختلف عن الإرسال الميكروسکوبي وذلك في أنه يعطى صورة بالمسح لسبائك معدنية وذلك عن طريقة شعاع إلكتروني مرکز على نقطة معينة ومراقبة شدة الإلكترونات المبذولة من الشعاع كل هذه تكون تشخيصية ومفيدة في المعلومات التي تكشف عنها الصور وهي في الواقع تعانى من القيود التي تحدث عندما تتحول العينة هناك تقنيات تستخدم لتقدير حجوم وأشكال الجزيئات الضخمة ودقائق الغروي في الحاليل. بعضها يعطى الكتل الجزيئية أو الكتل الجزيئية النسبية أو على طريقة الغروي الأوزان الجزيئية. وبعضها الآخر يعطى معلومات عن الحجوم الهندسية للجزئيات وشكل الصنف المدروس وتوضح هل الجزئي شكله قضيبى أو كروي وهكذا.

وهذه التقنيات تستخدم لتوضيح ما إذا كانت السلسلة التي يتكون منها الجزيئ منتظمة في صف محدد أو أنها مجرد ملف غير منظم. ويمكن في بعض الأحيان استخدام الرنين النووي المغناطيسي $n.m.r$ وذلك لتحديد وضع الذرات في الجزيئ في محلول.

b - الأسموزية والدليزة Osmosis and dialysis

الطرق الكلاسيكية لتحديد الكتل الجزيئية النسبية للجزئيات تعتمد في دراستها على الخواص التجمعية .

في الجزيئات الضخمة حيث أن عدد الجزيئات في محلول يمكن أن يكون صغيراً جداً وذلك على الرغم من كبر الكتلة الكلية فإن القياسات الأسموزية تكون ذات أهمية خاصة.



شكل (4) صورة بالميكروسكوب الإلكتروني للهيموجلوبين
العلاقة الأساسية هي معادلة فانت هو夫

$$\pi V = n_P RT \quad (1)$$

حيث أن π هو الضغط الأسموزي، n_P هي كمية المذاب في حجم قدره V من محلول. حيث أن تركيز المذاب وهو في هذه الحالة من الجزيئات الكبيرة P هي $n_P/V = [P]$. وبطريقة أكثر بساطة نصل إلى :

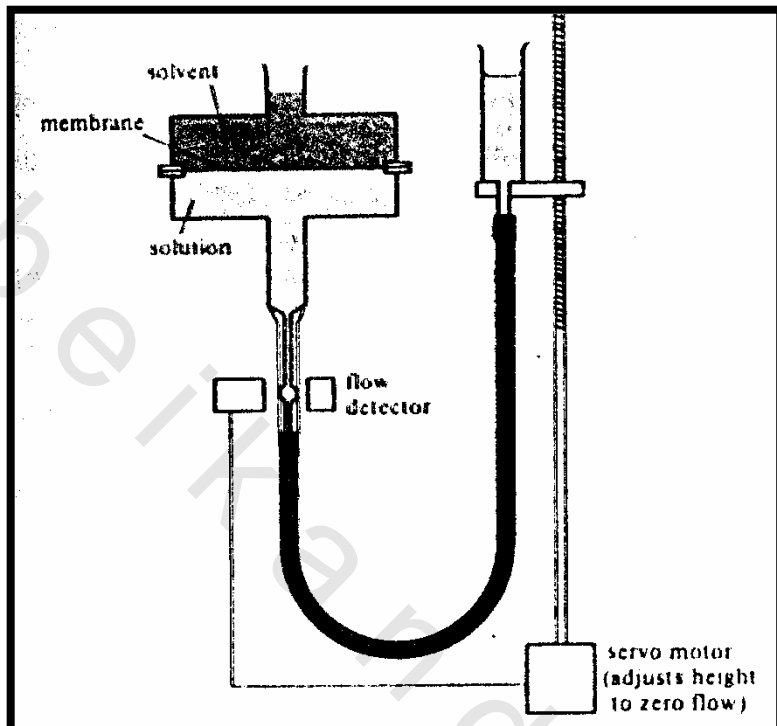
$$\pi = RT [P] \quad (2)$$

وحيث أن التركيز $[P]$ مرتبطةً بتركيز الكتلة c_P من خلال العلاقة $[P] = c_P/M_m$ حيث أن M_m هي الكتلة الجزيئية. توجد صورة أخرى لمعادلة وهي :

$$\pi / c_P = RT / M_m \quad (3)$$

الكتلة الجزيئية النسبية Mr ، $R.M.M$ ، للجزيئ ترتبط بالكتلة المولارية بالعلاقة $Mr = M_m/g \text{ mol}^{-1}$ (يعنى أن $R.M.M$ هي القيمة العددية للكتلة المولارية عندما يعبر عن الأخيرة بالجرام لكل مول). وقد وجد أن تقدير الضغط الأسموزي للمحلول المحتوى على كتلة ذات

تركيز معلوم للجزئيات الضخمة تعطى الأخيرة (R.M.M) والجهاز المستخدم في تقدير الضغط الأسموزي مبين في الشكل (5).



شكل (5) جهاز الأزوموميتر المستخدم لقياس الكتل المolarية للجزئيات الضخمة

يُقاس الضغط الأسموزي من الزيادة في الارتفاع h في العمود للمحلول باستخدام العلاقة $\pi = pgh$ حيث p هي كثافة محلول، g هي عجلة الجاذبية. وكالعادة هناك بعض الصعوبات. ثلاث منها ذات أهمية خاصة وهي: (a) الحيوان عن المثالثة، (b) وجود مدي من R.M.M في العينة، (c) وجود الشحنة على الجزيء الضخم.

الجزئيات الضخمة تعطى محاليل غير مثالية وذلك لكبرها النسبي وهي تحل محل كمية كبيرة من المذيب ولا تذوب بإحلالها محل جزئيات المذيب الإنفرادية.

وعلى جانب آخر فإن الكتلة الضخمة تعنى أن هناك حجم كبير مستبعد: الجزئ الواحد لا يستطيع العوم بحرية في المحلول حيث أنه يستبعد من المناطق التي تحتلها الجزيئات الأخرى ومن وجهة نظر الشرموديناميكية فإن هذا يعني أن التغير في الأنثروبى يمكنهاماً عندما ينتقلالجزئ الضخم إلى المحلول.

كما أنه يوجد كذلك إنتالبى كبير للمحلول وذلك نتيجة لتدخل المذيب مع عدد كبير من مكونات وحدات المونومر في البوليمر. يؤخذ الحيود عن الحالة المثالية في الإعتبار وذلك بإستخدام معادلة فانت هو夫 بنفس الطريقة التي طبقت بها معادلة الغاز المثالى على الغازات الحقيقية وذلك بكتابة معدل طاقة الحركة للتمدد ويمكن كتابة إعتماد الضغط الأسموزى على تركيزالجزئ الضخم كما يلى:

$$\pi / [P] = RT \{ 1 + B [P] + \dots \} \quad (4)$$

أو :

$$\pi / c_p = (RT/M_m) \{ 1 + (B/M_m) c_p + \dots \}$$

وبرسم العلاقة بين π / c_p مع c_p ومد الخط على إستقامته حتى تركيز صفر. يمكن تقدير قيمة M_m وذلك من الجزء المقطوع. ويمكن تعين كمية B وهو معدل طاقة الحركة الأسموزية من ميل المنحنى.

مثال

بإستخدام جهاز الضغط الأسموزى لقياس الضغط الأسموزى لمحلول بولى فينيل الكلوريد (P.V.C.) في محلول من السيكلاوهكسانون عند 25°C . وجد أن قراءات الارتفاع في المحلول الناتج عن إنسياب المذيب خلال الغشاء النصف المنفذ كما يلى:

| | | | | | |
|------------------------|-------|-------|-------|-------|-------|
| $c_p/\text{g dm}^{-3}$ | 1.00 | 2.00 | 4.00 | 7.00 | 9.00 |
| h/cm | 0.475 | 0.926 | 1.776 | 2.940 | 3.627 |

وأن متوسط كثافة المحلول هي 0.980 gm cm^{-3} ، أوجد قيمة الكتلة الجزيئية النسبية (R.M.M) للبوليمر الناتج.

الطريقة: بإستخدام المعادلة (5) ، يعبر عن الضغط الأسموزي π

$\pi = \rho g h$ والجاذبية، $g = 9.81 \text{ ms}^{-2}$ و تكتب المعادلة على الصورة :

$$h/c_p = (RT/\rho g M_m) \left\{ 1 + \left(\frac{B}{M_m} \right) c_p + \dots \right\}$$

وبرسم العلاقة بين c_p ضد h/c_p نحصل على خط مستقيم ويكون

الجزء المقطوع منه عند $c_p = 0$ هو $RT/\rho g M_m$ ونحصل على $R.M.M.$

$$M_m = M_m / \text{gmol}^{-1}$$

الحل: ارسم الجدول التالي :

| | | | | | |
|--------------------------------------|-------|-------|-------|-------|-------|
| $c_p / \text{g dm}^{-3}$ | 1.00 | 2.00 | 4.00 | 7.00 | 9.00 |
| $h / \text{cm} (\text{cm/gdm}^{-3})$ | 0.472 | 0.463 | 0.444 | 0.420 | 0.403 |

رسمت النقط في الشكل (6). الجزء المقطوع هو 0.482

وعليه نكتب المعادلة التالية :

$$M_m = \frac{(RT/\rho g) / (0.482 \text{ g}^{-1} \text{ cm dm}^3)}{\frac{(8.314 \text{ Jk}^{-1} \text{ mol}^{-1}) \times (298.15 \text{ K})}{(0.980 \text{ gm cm}^{-3}) \times (0.482 \text{ cm dm}^3)}} = 53.5 \text{ kgmol}^{-1}$$

وبذلك تكون $Mr = 53500$

التعليق: هذه هي متوسط قيمة $R.M.M.$ للبوليمير، المعامل B نحصل

عليه بمساواة ميل المنحنى بالقيمة $(RT/\rho g M_m) B/M_m$

$$-0.0195 \text{ g}^{-1} \text{ dm}^3 = B/M_m$$

وهذه تعطي قيمة

التبرير الشرموديناميكي لمعدل طاقة الحركة للتمدد وتفسير القيمة

B يمكن دراستها بالعودة إلى التعبير الأساسي للضغط الأسموزي وذلك

بالتعبير بملعومية الجهد الكيميائي. عندما يكون محلول غير مثالى

يمكن أن تستبدل القيمة $RT \ln a_A$ بالقيمة $RT \ln x_A$ حيث أن a_A هي

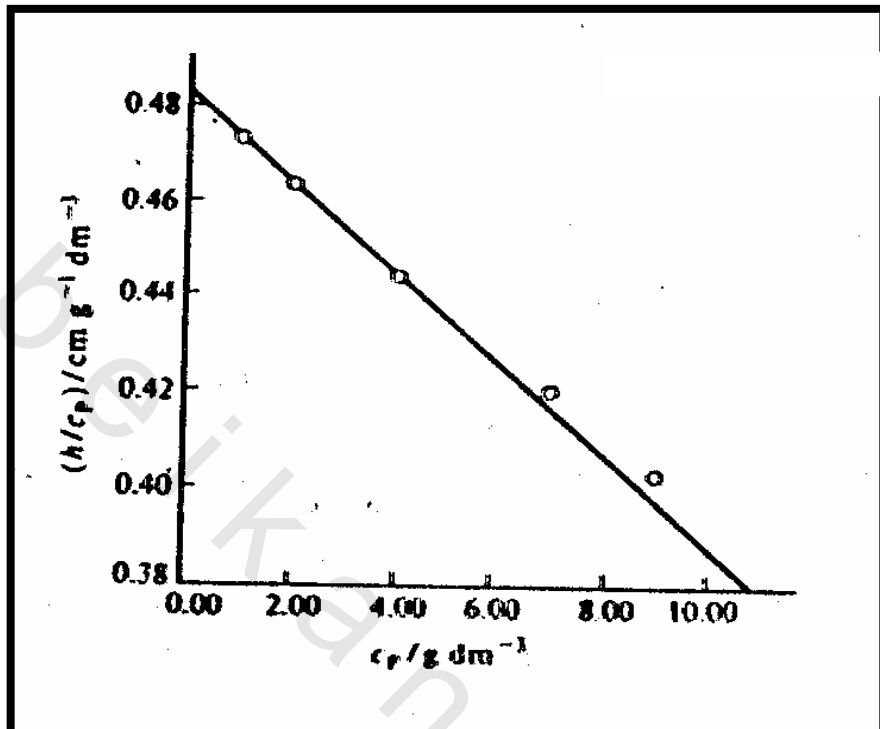
فعالية المذيب. ومنها نصل إلى :

$$- RT \ln a_A = \int_p^{p+\pi} V_m^* dp \quad (6)$$

الكتلة المolarية للتكامل هي πV_m^* . إذا اعتربنا المذيب غير قابل

للانضغاط يعطى الضغط الأسموزي كما يلى :

$$\pi V_m^* = -RT \ln a_A \quad (7)$$



شكل (6) رسم لتقدير الكتلة المolarية

الفعالية تساوى الوحدة عندما يكون المذيب نقىًّا وتساوي X_A عندما يكون محلول مثالياً. ويمكن كتابة الكسر الجزئي كالتالى : $X_A = X_P - 1$ حيث أن X_P هو الكسر الجزئي للجزء الكبير وبالتقريب يمكن أن نكتب $X_P - \text{بدلاً من } \ln(1 - X_P)$ وفي قول آخر يمكن إجراء التقريب التالى . $\ln X_A \approx -X_P$

ويمكن أن تكتب القيمة التقريبية $(1 - X_P) \ln$ على الصورة $-X_P$ وفي قول آخر نصل إلى ما يلى :

$$\ln X_A \approx -X_P \quad (8)$$

وهذا يؤدى إلى معادلة فانت هو夫. وعندما يكون محلول غير مثالى نفرض أن $\ln a = -X_P$ تعتبر بداية السلسلة :

$$\ln a_A = - \{ X_P + B' X^2 + \dots \} \quad (9)$$

وبالتعويض عن هذه التوسيعة فى المعادلة للضغط الأسموزى وبالتحوير فى وحدات B سيؤدى ذلك إلى المعادلة (5). توسيع معدل طاقة الحركة للقيمة a_A ذات أهمية. نظرية ماكميلان ماير للمحاليل تؤكد أن التوسيعة متعددة الحدود مناسبة لـالإلكتروليتات ولسبب أن الفعاليات لـالمحاليل الإلكتروليتات يعتمد على الجذر التربيعى للتراكيز (نظرية ديباي هيكل). ينشأ بالمعامل (B) بدرجة كبيرة من تأثير الحجم المستبعد وهذه هى تذكار لغاز فادرفال حيث أن معامل معدل طاقة الحركة B يساوى $b-a/RT$ والتى تختصر إلى $B \approx b$ عندما يسود تأثير الحجم المزاح. إذا تخيلنا محلولاً من الجزيئات الضخمة المبنية بالإضافة المتتابعة للجزئيات الضخمة، كل واحد يكون مزاح من المساحة المشغولة بالجزئيات الأخرى التى تسبقها وتتصبح القيمة B كما يلى :

$$B = \frac{1}{2} L v_p \quad (10)$$

حيث v_p هو الحجم المزاح لجزئ واحد هو molecule

فى بعض الأحيان بإستخدام مذيب معين عند درجة حرارة معينة معامل طاقة الحركة للتتوسيعة B ممكن أن يكون صفرًا. وهذا يمكن أن يحدث عندما يتوازن الحجم المزاح بعوامل جذب تميل إلى رسم الجزيئات الضخمة معاً. والحرارة فى هذه الحالة تسمى حرارة θ (temperature) وأن المحلول هو محلول θ وهذا يقابل حرارة بوليل للغازات فالحذف العرضى للتأثيرات عند حرارة θ تعنى أن المحلول يتصرف بمثالية فعلياً. وأن الخواص термодинамيكية يمكن وصفها بسهولة. فعلى سبيل المثال حرارة θ للبولي ستايرين فى السيكلوكسان. هي حوالى K 306 والقيمة الفعلية تعتمد على الكتلة المولارية للبوليمر. ويمكن اعتبار العينة مكونة من خليط من الجزيئات الضخمة لها كتل مolare مختلفة. البروتين النقى هو عبارة عن صنف محدد له كتلة

مولارية واحدة ومحددة (أحادي التشتت) على الرغم من أنه يوجد اختلاف بسيط في التركيب (فعلى سبيل المثال يمكن أن يوجد أحد الأحماض الأمينية فكان الحمض الآخر) إعتماداً على مصدر البروتين. ومن جهة أخرى فإن البولимер المخلق هو عبارة عن خليط من سلاسل ذات أطوال مختلفة وتحتوي العينة على مدى من الكتل المولارية (عديدة التشتت). القياسات الأسموزية تعطي متوسط للكتل المولارية. وهناك طرق عديدة للحصول على المتوسطات. والطريقة التي تستخدم فيها القياسات الضغط الأسموزي هي عبارة عن المتوسط العددي $R.M.M.$; $\langle Mr \rangle_N$ ويمكن أن تحدد كما يلى : نفرض أن لدينا N_i من الجزيئات تكون لها M_{ri} هي $R.M.M.$ ، وعدد من الجزيئات هو N_{ri} . وعليه يكون المتوسط العددي $R.M.M.$ هو $R.M.M.$.
 $R.M.M.$

$$\langle Mr \rangle_N = \sum_i (N_i/N) M_{ri} = (1/N) \sum_i N_i \cdot M_{ri} \quad (11)$$

وهذا المتوسط يشبه المتوسط المأخذ عند حساب متوسط الارتفاع في التعداد السكاني ومتوسط سرعة السيارات وهكذا. وحيث أن الأسموزية تعطي المتوسط العددي $R.M.M.$ وليس أى شئ آخر حيث أنها خاصية تجمعية. أى أنها خاصية تعتمد على العدد وليس على طبيعة المادة.

ومن ناحية أخرى يمكن وجود شحنة على بعض أنواع الجزيئات الضخمة، بعض البوليمرات عبارة عن خيوط من مجموعات حمضية (مثل حمض البولي أكريليك) :



أو خيوط من القواعد (مثل الناليون) :



والبروتينات تحتوى على مجموعات حمضية وقاعدية. يمكن للبوليمرات أن تكون بولى إلكتروليتات وتعتمد على حالة التأين. (بولى أنيونات، بولى كاتيونات وبولى أمفوليتات التي هى خليط من طبيعة أنيونية وكاتيونية).

وعند دراسة البولى إلكتروليتات والجزئيات الضخمة المتأينة الموجودة فى الطبيعة من الضرورى معرفة حدود التأين قبل تفسير القراءات الأسموزية. فعلى سبيل المثال نفرض أن ملح الصوديوم للبولى إلكتروليتات تتقلل إلى 7 أيونات الصوديوم وإلى بولى أنيون مفرد 10V. وعلىه يتم قراءة معادلة فانت هو夫 كالتالى:

$$\pi/c_p = (v + 1) RT/M_m \quad (12)$$

حيث c_p هى تركيز الكتلة المضافة للمركب Na_vP المضاف. إذا تخلينا أن $v=1$ بينما هى فى الحقيقة ($v=10$) مكون فى حساب الكتلة المolarية خطأ واضح.

نفرض أن محلول من البروتين أو الجزيئيات الضخمة تحتوى ملحًا مضاد (حيث أن محلول Na_vP يحتوى أيضًا على ملح NaCl على سبيل المثال وأنها فى ملامسة غشاء مثل السيلوفان (أو حدان الخلية) مع محلول ملح آخر. وأن الغشاء منفذ للمذيب وأيونات الملح ولكن غير منفذ لأيون البولى إلكتروليت نفسه. هذا النظام والذى يسمى ديلزة (dialysis) هو نفسه يحدث فى الأنظمة الحية حيث الأسموزية خاصية هامة فى عمل الخلية. ما هو تأثير الملح على الضغط الأسموزي؟ سوف نرى أن الإجابة على هذا السؤال يؤدى إلى تفصيل المشكلة المعملية لتصور حدود التأين للجزئيات الضخمة. السبب فى ذلك هو لماذا نتوقع أثراً ينتج من وجود الملح المضاف وهو أن الأنيونات والكاتيونات لا تستطيع الهجرة خلال الغشاء بكميات إعتبارية وذلك لكون التعادل الكهربائى يكون محفوظاً على الجانبين، فإذا هاجر الأنيون فى إتجاه معين لابد أن

يصحبه الكاثيون والمعكس صحيح، والمقطع الصحيح لتأثير إضافة الملح على إتزانات الديليز هو تأثير دونان. لنرى دلالات أو تلميحات تأثير دونان نعتبر ما يحدث عندما يكون البولي إلكتروليت P^- عند تركيز قدرة $[P]$ على جانبي الغشاء وأن ملح الطعام NaCl قد أضيف على الجانبين.

توجد على اليسار أيونات P^- ، Na^+ ، Cl^- وعلى اليمين توجد أيونات Na^+ ، Cl^- . من دواعى الإتزان فأن الجهد الكيميائى لكلوريد الصوديوم NaCl لابد أن يتساوى على جانبي الغشاء. وعليه يحدث الإنسياب الكلى لأيونات Na^+ ، Cl^- إلى أن نصل إلى الحالة التى يتساوى فيها الجهد الكيميائى $(\mu_{\text{NaCl, right}} - \mu_{\text{NaCl, left}}) = \mu^\theta(\text{NaCl})$ لـ كل منهما. وهذا التساوى يتطلب استخدام المعادلة (13)

$$\begin{aligned} \mu^\theta(\text{NaCl}) + RT \ln \{a(\text{Na}^+) a(\text{Cl}^-)\}_{\text{left}} \\ = \mu^\theta(\text{NaCl}) + RT \ln \{a(\text{Na}^+) a(\text{Cl}^-)\}_{\text{right}} \end{aligned} \quad (13)$$

إذا لم تؤخذ معاملات النشاطية فى الإعتبار، وعلى فرض أن القيم القياسية $\mu^\theta(\text{NaCl})$ تكون واحدة على جانبي الحاجز وعليه يتطلب ذلك :

$$\{ [\text{Na}^+]_{\text{left}} [\text{Cl}^-]_{\text{left}} \} = \{ [\text{Na}^+]_{\text{right}} [\text{Cl}^-]_{\text{right}} \} \quad (14)$$

تأتى أيونات الصوديوم من كل من البولي إلكتروليت والملح المضاف فإذا هاجرت أيونات الصوديوم خلال الغشاء فإنها تكون مصحوبة بأيونات الكلوريد ولذلك للحفاظ على التعادل الكهربى على جانبي الغشاء. (الجزئيات الضخمة تكون ضخمة بحيث أنها لا تمر خلال الغشاء) وعليه فقد الإتزان.

$$[\text{Na}^+]_{\text{left}} = [\text{Cl}^-]_{\text{left}} + v[P]$$

$$[\text{Na}^+]_{\text{right}} = [\text{Cl}^-]_{\text{right}}$$

تجمع هذه المعادلات مع المعادلة (14) للحصول على تعبيرات للفروق فى تركيزات الأيونات خلال الغشاء.

$$\theta [Na^+]_{left} - [Na^+]_{left} = \frac{v[P][Na^+]_{left}}{[Na^+]_{left} + [Na^+]_{right}} = \frac{v[P][Na^+]_{left}}{2[Cl] + v[P]} \quad (15)$$

$$\theta [Cl^-]_{left} - [Cl^-]_{right} = \frac{v[P][Cl^-]_{left}}{[Cl^-]_{left} + [Cl^-]_{right}} = \frac{v[P][Cl^-]_{left}}{2[Cl]} \quad (16)$$

وفي سبيل الحصول على هذين التعبيرين يمكن استخدام هذه العلاقات :

$$\begin{aligned} [Cl^-]^{def} &= \frac{1}{2} \{ [Cl^-]_{left} + [Cl^-]_{right} \} \\ &= \frac{1}{2} \{ [Na^+]_{left} + [Na^+]_{right} - v[P] \} \end{aligned}$$

الأول يتحدد بها $[Cl^-]$ التي يمكن قياسها بتحليل المحلولين، والثانية تأتى من معادلة التعادل الكهربى الأولى. الخطوة الأخيرة هي ملاحظة إعتماد الضغط الأسموزى على الفرق فى عدد الدقائق على جانبي الغشاء عند الإتزان وبالتالي فإن معادلة فانت هو夫 ($\pi = RT[solute]$) تصير:

$$\begin{aligned} \pi &= RT \{ [P] + [Na^+]_{left} - [Na^+]_{right} + [Cl^-]_{left} - [Cl^-]_{right} \} \\ &= RT [P] \{ 1 + v^2 [P] / (4 [Cl^-] + v [P]) \} \end{aligned} \quad (17)$$

نحصل على الخط الثانى من العمليات الجبرية على النتائج المدونة أعلاه.

هناك العديد من النقاط التى يجب التعامل معها. أولها: عندما تكون كمية الملح المضافة كبيرة لدرجة أن $[Cl^-] >> v/4$ تكون صحيحة. فيمكن تبسيط المعادلة (17) أن تبسط كما يلى:

$$\pi \approx RT [P] \{ 1 + (v^2/4) [Cl^-] \} \quad (18)$$

وأن وجود الملح يؤدى إلى نوع من معامل معدل الطاقة.

عندما يكون الملح عند هذا التركيز العالى لدرجة أن قيمة $v^2 [P]/4$ تكون أقل كثيراً عن الوحدة. فإن المعادلة الأخيرة (18) تصبح π

$RT \approx [P]$ ولا يعتمد فى ذلك الوقت الضغط الأسموزى على قيمة ٧.
وهذه هى أول نتيجة مهمة نبحث عنها.

وهذا يعني أنه إذا قيست الضغوط الأسموزية فـى وجود تركيز عالى من الملح (وهذا هو الحال فى الغالب للجزئيات الضخمة الموجودة فى الطبيعة) نحصل على الكتلة المولارية بسهولة. والسبب المهم لهذا التبسيط هو أنه عندما يوجد تعامل قوى مع الملح الموجود فى الحقيقة أن البولى إلكتروليت يعطى كاتيونات إضافية (أو أنيونات إذا كان البوليمير هو بولى كاتيون). وبالمرة نلاحظ أيضاً أنه إذا لم يكن هناك ملح مضاد لدرجة أن تركيز $[Cl^-] = 0$ تختصر المعادلة (17) إلى $(1) = \pi$ $RT [P] + 7$ وتأتى النقطة الثابتة من الأخذ فى الإعتبار المعادلة (16) هناك أهمية غالباً حول المدى الذى ترتبط به الأيونات مع الجزيئات الضخمة خصوصاً إذا كان هناك غشاء (مثل جدار الخلية) يفصل بين منطقتين. أوضحت المعادلات أن الكاتيونات سوف تزيد عن الأنيونات فى الغرفة المحتوية على بولى أنيون (الاختلاف فى التركيز يكون موجباً لـ Na^+ ، سالباً لـ Cl^-) المعادلة (16) كافية لمطالبات الإتزان والتعادل الكهربى، فإن Na^+ يميل إلى الالتصاق مع الجزء الضخم.

مثال

حجمين متساوين من محليل كلوريد الصوديوم تركيزهما هو $0.200 \text{ mol dm}^{-3}$ مفصولين بغشاء. فإذا كان M_r للجزء الضخم والذى لا يستطيع النفاذ من الغشاء هو $M_r = 55000$ والتى أضيفت على هيئة ملح صوديوم Na_6P وذلك بتركيز يصل إلى 50 g dm^{-3} إلى الغرفة على اليسار. ما هى التركيزات المتزنة لكلا من Na^+ ، Cl^- فى كل غرفة؟

الطريقة: والمعادلة التالية لإيجاد مجموع Na^+ على اليسار وعلى اليمين. بحل المعادلات للتركيزات المنفردة. تركيز الكلوريد أمكن

تقديرها من المعادلات التي تسبق المعادلة (16). استخدام المعادلة $= [P] = c_p / M_m$

الحل

$$[P] = (50 \text{ gdm}^{-3}) / (55000 \text{ g mol}^{-1}) = 9.0909 \times 10^{-4} \text{ mol dm}^{-3}$$

وتعطى المعادلة (16) بالشكل التالي:

$$\begin{aligned}[Na^+]_L - [Na^+]_R &= \frac{6x(9.0409 \times 10^{-4} \text{ mol dm}^{-3}) \times [Na^+]_L}{2x(0.200 \text{ mol dm}^{-3}) + 6x(9.0909 \times 10^{-4} \text{ mol dm}^{-3})} \\ &= 0.01345 [Na^+]_L \\ [Na^+]_L - [Na^+]_R &= 2[NaCl] + 6[P] = (0.400 + 6 \times 9.0909 \times 10^{-4}) \text{ mol dm}^{-3} \\ &= 0.40545 \text{ mol dm}^{-3}\end{aligned}$$

وعليه فإن :

$$[Na^+]_L = 0.2041 \text{ mol dm}^{-3}, [Na^+]_R = 0.2014 \text{ mol dm}^{-3}$$

$$[Cl^-]_R = [Na^+]_R = 0.2014 \text{ mol dm}^{-3}$$

$$[Cl^-]_L = [Na^+]_L - 6[P] = 0.1986 \text{ mol dm}^{-3}$$

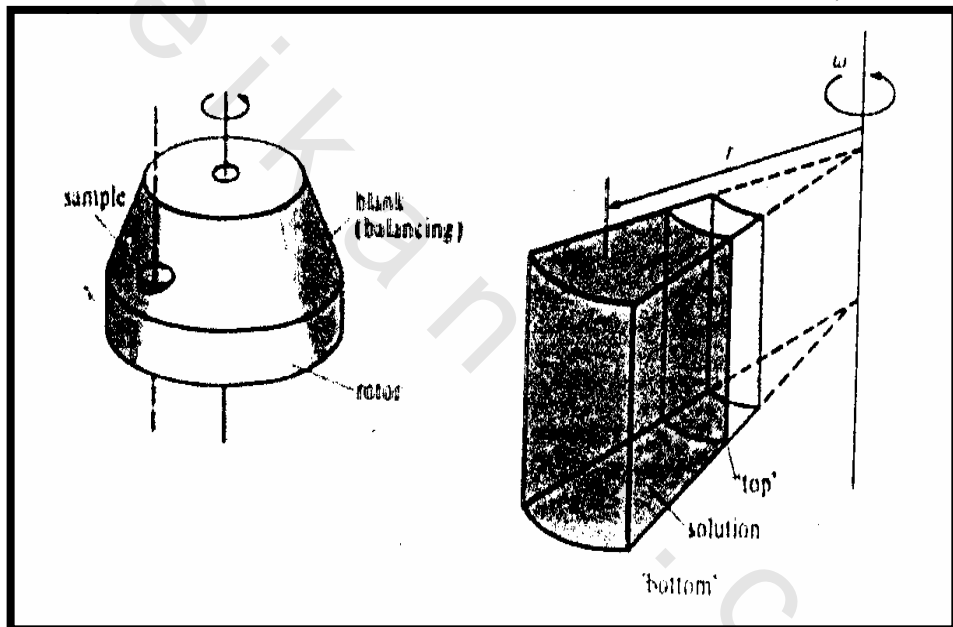
التعليق: لاحظ أن الكلوريد يتجمع بدرجة بسيطة في الغرفة التي لا تحتوى على الجزيئات الضخمة ويلاحظ أن الظروف التي فيها $>> [Cl^-]/[Na^+]$ تكون ملائمة وعليه فيمكن استخدام المعادلة (18) لحساب الضغط الأسموزي والتي تعطى بالعلاقة $P = 1.0409RT$.

c - تقدير الكتل المolarية من إتزان الترب

الترب: في مجال الجاذبية ترسب الدقائق الثقيلة ناحية القاع في عمود من السائل. وسرعة الترب هذه لا تعتمد فقط على قوة المجال ولكن تعتمد أيضاً على كتل وأشكال الدقائق. وعندما يكون هناك نظاماً متزناً فإنه ليس كل الدقائق تكون موجودة في أرضية الإناء وذلك لأن تأثير مجال الجاذبية ينافسه تأثيرات التقليب للحركة الحرارية. الدقائق تكون منتشرة في مدى من الارتفاعات تبعاً لغير بولتزمان للتوزيع السكاني. ويعتمد انتشار الارتفاعات على كتل الجزيئات. توزيع الارتفاعات وعليه فإن تحليل التوزيع المتزن تعتبر طريقة جديدة لتقدير الكتل المolarية.

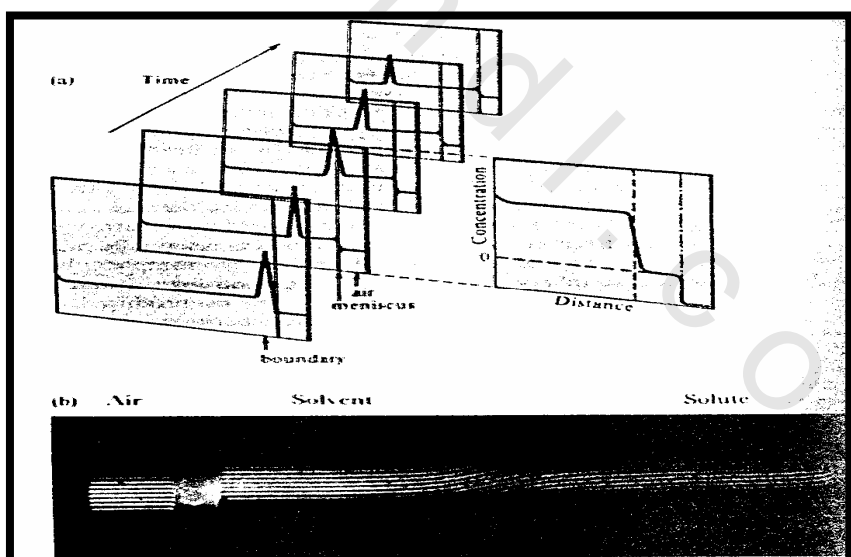
فى الفقرات التالية سوف نبحث عن الطرق المستخدمة لتفسيير الكتل المولارية من إتزانات الترب و كلاً من الأشكال والكتل المولارية من سرعة الترب.

الترب عادة هي عملية بطيئة ويمكن زيادة سرعة الترب بإحلال المجال الطرد المركبى محل المجال الجاذبية. وهذا يمكن تحقيقه بإستخدام جهاز الطرد المركبى الفوقي والذى هو عبارة عن إسطوانة تدور بسرعة كبيرة حول محورها. لتوضع العينة فى خلية ملاصقة لمحيط الإسطوانة المبين فى شكل (7)



شكل (7) (a) جهاز الطرد المركبى الفوقي (b) تفاصيل تجويف العينة يمكن إنتاج أجهزة طرد مركبى تدور بسرعة فائقة تفوق الجاذبية بما يعادل 10^5 مرة ففى البداية تكون العينة متجانسة ولكن فى أثناء التجربة فإن الحز الفاصل للمذاب الموجود على السطح تتحرك إلى الخارج أثناء عمليات الترب. تستخدم سرعة تحرك الحد الفاصل لإيجاد الكتلة المولارية للمذيب. وتتلخص المشكلة الأساسية فى كيفية

مراقبة تركيز العينة عند مختلف أنصاف الأقطار عند الدوران بسرعة تصل إلى آلاف الدورة في الدقيقة. وتعتبر الدراسة الطيفية أحد الوسائل ولكن من الشائع رصد التغير في التركيز بإستخدام تأثير التركيز على معامل الإنكسار للعينة. الحد الفاصل بين السطح العلوي للمذاب والمذيب الذي تتركه خلفها نتيجة لعملية التربس تؤدي إلى تغير فجائي وحاد في معامل الإنكسار بين شطري العينة. يتحرك الحد الفاصل إلى أعلى (الخارج) بحيث أن هناك تدرج في معامل الإنكسار على طول العينة فإنها تبدو كأنها منشور وتحرف أي ضوء يمر خلالها. ويتحول النظام البصري لشlieren التدرج في معامل الإنكسار إلى صورة داكنة شكل (8a) ويراقب النظام التداخلي المتغير التدرج في معامل الإنكسار من خلال تأثيره على التداخل في شعاعين من الضوء، أحدهما يأتي من العينة والأخر يأتي من النموذج شكل (8b) (تستخدم بصريات Shlieren لمراقبة الإنسياپ الهوائي في سراديد الرياح وأنابيب الصدمات).



شكل (8a) صور شيلرين لاغسار الحدود في أزمنة متتابعة.
التفسير بتأثير التركيز موضح في حالة واحدة. (8b) التداخل في الصورة

d- معادلات سرعة التربُّ للجزيئات الضخمة :

فلنأخذ فى الإعتبار دقیقة فی المحلول کتلتها m . على أساس إزاحة السائل نأخذ فى الإعتبار قابلية الوسط للطفو.

وتتعامل مع الكتلة الفعالة m_{eff} حيث أن $m_{eff} = (1 - \rho v_s) m$ حيث أن ρ هي كثافة المحلول وأن v_s هو الحجم النوعي (وهو في الحقيقة الحجم النوعي الجزيئي)، أي الحجم لكل وحدة كتل من المذاب. وللبساطة فلنختصر المعادلة الأخيرة إلى $(m_{eff} = b m)$ حيث أن b هو تصحيح معامل قابلية الطفو. تظهر دقیقة المذاب قوة دوامة قدرها $m_{eff} r \omega^2$ عندما تكون على مسافة قدرها r من محور الدوار وبسرعة زاوية ω ، العجلة المستحثة التي تعمل إلى الخارج. يعادلها مرة إحتكاك $f s$ تتناسب مع سرعة الدقيقة s في الوسط. وهذه القوة تكتب كالتالي $s = m_{eff} r \omega^2 / f$ حيث f هي معامل الإحتكاك. تتبنى الدقيقة سرعة جريان التيار والتي تقييم عن طريق قوتين : $s = m_{eff} r \omega^2 / f$ حيث أن :

$$s = m_{eff} r \omega^2 / f = m b r \omega^2 / f \quad (19)$$

يعتمد معدل سريان التيار على السرعة الزاوية وعلى نصف قطر الدوار، نحن نعلم الإثبات وبالتالي فمن المناسب التركيز على النسبة $s/r\omega^2$ والتي تسمى ثابت التربُّ S حيث أن كتلة الجزيء المنفرد ترتبط مع الكتلة المولارية من خلال العلاقة $s = M_m b / f L$ نصل إلى العلاقة التالية :

$$S = s/r \omega^2 = M_m b / f L \quad (20)$$

مثال

لوحظ تربُّ مصل زلال البوفين عند $25^\circ C$ وكان نصف القطر الإبتدائي لسطح المذاب هو 5.500cm وخلال عملية الطرد المركزي عند 56850 لفة / دقيقة نحصل على القيم التالية $L = r/\text{cm}$ عند مختلف الأزمنة.

| | | | | | | | |
|------|------|------|------|------|------|------|------|
| t/s | 0 | 500 | 1000 | 2000 | 3000 | 4000 | 5000 |
| r/cm | 5.50 | 5.55 | 5.60 | 5.70 | 5.80 | 5.91 | 6.01 |

احسب ثابت الترسب.

الطريقة : بإستخدام المعادلة (20) لتحديد S بإستخدام النسبة $\frac{dr}{dt}$ بعمل تكامل للمعادلة $s = r\omega^2 t$ نحصل على العلاقة :

$$\ln \left\{ \frac{r(t)}{r(0)} \right\} = \omega^2 St$$

برسم العلاقة $\ln \left\{ \frac{r(t)}{r(0)} \right\} / \omega^2 S$ من ميل المنحنى. مع الأخذ فى الإعتبار أن $\omega = 2\pi f$ حيث أن f تعبّر عنها بالدورة / ثانية.

الحل

ارسم الجدول التالي:

| | | | | | | | |
|--|---|--------|--------|--------|--------|--------|--------|
| t/s | 0 | 500 | 1000 | 2000 | 3000 | 4000 | 5000 |
| $\ln \left\{ \frac{r(t)}{r(0)} \right\}$ | 0 | 0.0090 | 0.0180 | 0.0857 | 0.0531 | 0.0719 | 0.0887 |

من الرسم يكون ميل المنحنى من الرسم هو 1.788×10^{-5} وعليه :
نحصل على $S = 1.788 \times 10^{-5} \omega^2 s^{-1}$ لذا تصبح S كالتالى :

$$S = \frac{(1.788 \times 10^{-5} s^{-1})}{[2\pi \times (56850/60)s^{-1}]^2} = 5.04 \times 10^{-3} s.$$

التعليق: لاحظ أن وحدة القيمة $S = 10^{-13}$ تسمى أحياناً زفيفدرج ويرمز لها بالرمز S. وعليه ففى هذه الحالة يكون ثابت الترسب هو 5.04S النتائج الدقيقة يمكن الحصول عليها عندما تمتد القراءات إلى تركيز صفر. ولعمل أي تحويل لابد من معرفة شيئاً ما حول ثابت الإحتكاك f. ولدقيقة كروية نصف قطرها a فى مذيب لزوجته Η يعطى معامل الإحتكاك بعلاقة ستوكس $f = 6\pi a \eta$. لذا فإنه بالنسبة للجزئيات الكروية الشكل نحصل على المعادلة التالية :

$$S = bM_m / 6\pi \eta a L \quad (21)$$

وتستخدم قيمة S لتقدير إما M_m أو نصف قطر الجزيئي a وإذا كانت الجزيئات ليست كروية توجد علاقة بين f وأبعادها. وهناك بعض التغيرات الناتجة عندما تكون الجزيئات على شكل عصا أو على شكل مجسم القطع الناقص (مثل السيجار)، أو على شكل مجسم ناقص متطاول مثل الرقاقيات وهذه التغيرات مدونة في حدول (8). لابد أن يراعى أن تمتد قراءات التربب حتى تركيز صفر وذلك لأن التداخل بين الجزيئات الضخمة يمكن أن يتسبب في تعقيدات كبيرة.

e- معاملات الإحتكاك والشكل الهندسي للجزئيات :

جدول (8) معاملات الإحتكاك والشكل الهندسي للجزئيات

Sphere; $r = a, c = a$

Prolate ellipsoid

(مجسم القطع الناقص)

major axis $2a$, minor

axis $2b$, $c = (ab^2)^{1/3}$

$$\left\{ \frac{(1-b^2/a^2)^{\frac{1}{2}}}{(b/a)^{2/3} \ln[(1+(1-b^2/a^2)^{1/2})/(b/a)]} \right\} f_o$$

Oblate ellipsoid

(مجسم ناقص متطاول)

major axis $2a$, min

or axis $2b$, $c = (a^2b)^{1/3}$

$$\left\{ \frac{(a^2/b^2 - 1)^{\frac{1}{2}}}{(a/b)^{2/3} \arctan[(a^2/b^2 - 1)^{1/2}]} \right\} f_o$$

Long rod (العصا الطويلة) ,

length ℓ , radius a ,

$c = (3a^2\ell/4)^{1/3}$

$$\left\{ \frac{\left(\frac{1}{2}a\right)^{2/3}}{(3/2)^{1/3}\{2\ell n(\ell/a) - 0.11\}} \right\} f_o$$

In each use $f_o = 6\pi\eta c$ with appropriate value of c

For prolate ellipsoid : مجسم القطع الناقص

| a/b | 2 | 3 | 4 | 5 | 6 | 7 | 8 | 9 | 10 | 50 | 100 |
|---------|------|------|------|------|------|------|------|------|------|------|------|
| f/f_o | 1.04 | 1.11 | 1.18 | 1.25 | 1.31 | 1.38 | 1.43 | 1.49 | 1.54 | 2.95 | 4.07 |

For oblate ellipsoid : مجسم ناقص متطاول

| a/b | 2 | 3 | 4 | 5 | 6 | 7 | 8 | 9 | 10 | 50 | 100 |
|---------|------|------|------|------|------|------|------|------|------|------|------|
| f/f_o | 1.04 | 1.10 | 1.17 | 1.22 | 1.28 | 1.33 | 1.37 | 1.42 | 1.46 | 2.38 | 2.97 |

يؤثر شكل الجزئى فى معدل التربس.

يؤثر شكل الجزئى على سرعة التربس، الجزيئات الكروية عموماً (وكذا الجزيئات المتلبدة) تترسب أكثر من الجزيئات التى لها شكل العصا أو المنبسطة. فعلى سبيل المثال DNA التى على شكل لولب تترسب بسرعة أكثر وذلك عندما تتحول عن الصفات الطبيعية لها وذلك إلى شكل لولب عشوائى. وبالتالي سرعة التربس تستخدمن لمراقبة التحول عن الصفات الطبيعية. عند استخدام سرعة التربس لتقدير الكتل المولارية يكون من الضروري معرفة نصف قطر الجزئى (a) أو عموماً معامل الإحتكاك F. وهذه المشكلة يمكن تحاشيها وذلك برسم علاقة قياسية بين F ومعامل الإنتشار D. معاملات الإنتشار فى (الجدول 9) مقياس للسرعة التى ستنشر بها الجزيئات عبر التدرج التركيزى. والتى يمكن قياسها وذلك بمشاهدة السرعة التى عندها ينتقل محلول الأكثر تركيزاً إلى محلول الأقل تركيزاً. وهناك طرق أخرى تعتمد على تشتت الضوء. كما سنرى فيما بعد. المعادلة الحرجة لمعامل الإحتكاك:

$$F = kT/D \quad (22)$$

والنقطة الهامة فى ذلك هى أن هذه العلاقة لا تعتمد على شكل

الصنف ومن المعادلة (20) يتضح أن :

$$M_m = FSL/b = SL kT/bD = S RT/bD \quad (23)$$

لذا فإنه لكي نحصل على M_m نجمع بين قياسات سرعة التربس وسرعة الإنتشار أى بين كلاً من S ، D .

جدول (9)

معاملات الإنتشار للجزئيات في المحلول المائي عند 20°C

| الجزئي الضخم Macromolecule | الوزن الجزيئي Mr | معامل الإنتشار $D/10^{-7} \text{ cm}^2 \text{ s}^{-1}$ |
|-------------------------------|---------------------|---|
| Sucrose | 342 | 45.86 |
| Ribonuclease | 13683 | 11.9 |
| Lysozyme | 14100 | 10.4 |
| Serum albumin | 65000 | 5.94 |
| Haemoglobin | 68000 | 6.9 |
| Urease | 480000 | 3.46 |
| Collagen | 345000 | 0.69 |
| Myosin | 443000 | 1.16 |

مثال

استخدم القراءات الواردة في المثال السابق مع القراءات التالية لإيجاد قيم R.M.M. للمصل الزلالي البقرى واحسب نسبة المحورية على أساس أنه مجسم ناقص متطاول. أعتبر $D=6.97 \times 10^{-7} \text{ cm}^2 \text{ s}^{-1}$ ، $\eta = 0.890 \times 10^{-3} \text{ kg m}^{-3} \text{ g}^{-1}$ ، $v_s = 0.734 \text{ cm}^{-3} \text{ g}^{-1}$ ، $\rho = 1.0024 \text{ g cm}^{-3}$ وأن درجة الحرارة هي 25°C.

الطريقة: استخدم المعادلة (23) لحساب M_m ، حيث $S=5.04 \times 10^{-13} \text{ s}$ ، لأجل إيجاد النسبة المحورية نرجع إلى الجدول (8). أولاً نوجد F من المعادلة (22) ، F_0 ، وذلك من الفرض القائل بأن الجزئي هو عبارة عن كرة نصف قطرها c. أوجد c من طريق $v_{\text{mol}} = (4/3) \pi c^3$ ، $v_{\text{mol}} = b/a$ ومن العلاقة $f_0 = 6\pi\eta c$. ثم أخيراً نوجد قيمة b/a من الجدول (8) التي تعطى القيمة المشاهدة لـ f/f_0 .

الحل

$$M_m = \frac{(5.04 \times 10^{-13} \text{ s}) \times (8.314 \text{ JK}^{-1} \text{ mol}) \times (298.15 \text{ K})}{(1 - 1.0024 \times 0.734) \times (6.97 \times 10^{-11} \text{ m}^2 \text{ s}^{-1})} \\ = 67.9 \text{ kg mol}^{-1} = 67900 \text{ gmol}^{-1}$$

$$\begin{aligned}
 M_r &= 67900 \\
 F &= kT/D = (1.381 \times 10^{-23} \text{ JK}^{-1}) \times (298.15 \text{ K}) / (6.97 \times 10^{-11} \text{ m}^2 \text{ s}^{-1}) \\
 &= 5.91 \times 10^{-11} \text{ kg s}^{-1} \\
 V_{\text{mol}} &= (0.734 \text{ cm}^3 \text{ g}^{-1}) \times (67900 \text{ g mol}^{-1}) / (6.022 \times 10^{23} \text{ mol}^{-1}) \\
 &= 8.28 \times 10^{-26} \text{ m}^3 \\
 c &= [(3/4\pi)V_{\text{mol}}]^{1/3} = 2.70 \times 10^{-9} \text{ m} \\
 F_0 &= 6\pi\eta c = 6\pi \times (0.890 \times 10^{-3} \text{ kg m}^{-1} \text{ s}^{-1}) \times (2.70 \times 10^{-9} \text{ m}) \\
 &= 4.54 \times 10^{-11} \text{ kg s}^{-1}
 \end{aligned}$$

لذا نجد أن :

$$F/F_0 = (5.91 \times 10^{-11} \text{ kg s}^{-1}) / (4.54 \times 10^{-11} \text{ kg s}^{-1}) = 1.30$$

بالرجوع إلى الجدول (8) يتبيّن أن النسبة المحورية أقل قليلاً من

القيمة 6 .

التعليق: مجسم القطع الناقص يشبه السيجار. وطولها 6 مرات أكثر من عرضها. الحسابات الأكثـر دقة (والمعتمدة على مد الخط المستقيم حتى تركيز صفر) تعطى النسبة المحورية على أنها 4.4 .

f- اتزانات التربـ f-sedimentation equilibrium

تكمـن صعوبة الحصول على الكـتلة المـولـارـية بـاستـخدـام سـرـعة التـرـبـ تـكـمـن فـي عدم الدـقـة المـلـازـمـة لـتعـيـين معـاـمـل الإـنـتـشـارـ. السـطـح الفـاـصـلـ ليس واضحـاً بـسـبـبـ تـيـارـاتـ التـوـصـيلـ. مشـكـلةـ اختـصـاصـناـ لـعـرـفـةـ Dـ يـمـكـنـ تـجـنبـهاـ وـذـلـكـ بـالـسـماـحـ لـلـمـحـلـولـ بـالـرـسوـ إـلـىـ إـتـزـانـ جـارـىـ وـحيـثـ أـنـ عـدـدـ جـزـئـاتـ المـذـابـ بـأـيـ طـاقـةـ وـضـعـ Eـ تـنـاسـبـ معـ exp(-E/kT)ـ نـسـبـةـ التـراـكـيـزـ عـنـدـ إـرـتـفـاعـينـ مـخـلـفـينـ (أـوـ نـصـفـ القـطـرـ فـيـ جـهـازـ الـطـردـ المـركـزـيـ)ـ تـسـتـخـدـمـ لـحـاسـابـ كـتـلـهـماـ. كـلـ ماـ نـرـيدـ مـعـرـفـتـهـ هـوـ أـنـ طـاقـةـ الـوـضـعـ لـجـزـئـ كـتـلـهـ m_effـ عـنـدـمـاـ يـتـحاـورـ حـولـ نـصـفـ قـطـرـ rـ وـذـلـكـ بـسـرـعةـ زـاوـيـةـ ωـ هـىـ $\frac{1}{2}m_{\text{eff}}r^2\omega^2$ ـ نـسـبـةـ التـراـكـيـزـاتـ عـنـدـ نـصـفـ قـطـرـ r1ـ،ـ r2ـ هـىـ كـمـاـ يـلـىـ:

$$cp(r_1) / cp(r_2) = N(r_1) / N(r_2) = \exp\{-E(r_1) / kT\} / \exp\{-E(r_2) / kT\}$$

$$= \exp \left\{ -\frac{1}{2} mb\omega^2 (r_1^2 - r_2^2) / kT \right\}$$

أو :

$$M_m = \frac{2RT \ln [cp(r_2)/cp(r_1)]}{(r_1^2 - r_2^2)b\omega^2} \quad (24)$$

لإستخدام هذه التقنية. فإن جهاز الطرد المركزي يجري (يعمل) بسرعة بطئية جداً أكبر من تلك الطريقة المستخدمة في سرعة الترسب وذلك لأن معظم المذاب يكون مضغوطاً على هيئة غشاء رقيق على قاع الخلفية.

الإلكتروفوريسيز (هجرة الجزيئات المعلقة في مجال كهربى) [الإشتراط] :

كثير من الجزيئات الضخمة تحمل شحنة كهربية ولذلك فإنها تستحدث تتحرك تحت تأثير المجال الكهربى. وتسمى هذه الظاهرة الإلكتروفوريسيز ويمكن للمحلول أن يثبت على ورقة ولكن في الإلكتروفوريسيز بالجل فإنه الهرجة تحدث خلال جل بولى أكريلاميد المكرس.

تعتمد حركة الجزيئات (مثل حركتها في تجارب الترسب) على كتل الجزيئات وعلى شكلها: وأحد الطرق المستخدمة لتحاشي مشكلة معرفة أي من الشكل الهيدروديناميكى للصنف أو شحنته الكلية هي تغيير خواصها الطبيعية بطريقة منتظمة. وقد وجد أن المنظف دودتسيل كبريتات الصوديوم يكون مفيداً في هذه الحالة. ففي المقام الأول فهي تغير طبيعة البروتينات وتحولها إلى شكل يشبه العصى وذلك بعمل متراكب معها.

لذا فإن جميع البروتينات مهما كانت حالتها الإبتدائية يمكن أن تتغير طبيعتها عند نفس الشكل. وهناك أيضاً فإن معظم البروتينات تجد أنها ترتبط مع كمية ثابتة من المنظف لكل وحدة كتل ولذلك فإن الشحنة لكل جزئ بروتين تكون منتظمة. تقدير الكتلة المولارية

للبروتين يمكن أن يحدث وذلك بمقارنة مرونتها في صورة متراكب (شكل العصا) وذلك بإستخدام عينات قياسية كتلتها المolarية معروفة.

ترشيح الجيل Gel filtration :

يمكن لحرزات من مادة بوليميرية أسفنجية قطرها 0.1 ملم أن تتحجز جزيئات بطريقة اختيارية تبعاً لحجمها . وعليه فإذا رشح محلول خلال عمود فإن الجزيئات الصغيرة تحتاج إلى وقت تصفية كبير بينما الجزيئات الكبيرة والتي لا تحجز تمر بسرعة خلال العمود الكتلة المolarية للجزئيات الكبيرة يمكن تقديرها بمشاهدة وقت إنسيا بها على عمود معاير بإستخدام جزيئات كبيرة معلومة الكتلة المolarية. يتغير المدى للكتل المolarية المقدرة بإختيار أعمدة مصنوعة من بوليمرات لها درجات تكريس مختلفة. تختلف أوقات إنسيا التابعية بإختلاف أشكال الجزيئات بطريقة صعبة نسبياً وتعتبر التقنية مناسبة في حالة الجزيئات الضخمة الكروية الشكل.

g-اللزوجة Viscosity :

وجود الجزيئات الكبيرة يؤثر على لزوجة الوسط. وعليه فإن قياسها يمكن لها أن تعطى معلومات حول الحجم والشكل لتلك الجزيئات ويكون التأثير كبيراً حتى عند التركيزات المنخفضة. وذلك لأن الجزيئات الكبيرة تؤثر على إنسيا السوائل المحيطة بها في مدة كبيرة.

في الخطوة الأولى مطلوب معرفة الكمية المستخدمة. فعند تركيزات منخفضة للمذاب فإن لزوجة محلول η متوقع لها أن ترتبط بلزوجة المذيب النقى بالعلاقة التالية:

$$\eta = \eta^* - A c_p + \dots$$

حيث A هو ثابت، η^* هي لزوجة المذيب النقى. ويكتب الثابت A

على الصورة التالية : $A = \eta^* / [\eta]$.

حيث أن $[\eta]$ هي الزوجة الأصلية والتي تعتبر نظيراً لمعدل طاقة الحركة. وبالتالي:

$$\eta = \eta^* + \eta^* [\eta] c_p + \dots = \eta^* \{ 1 + [\eta] c_p + \dots \} \quad (25)$$

وعليه فيمكن تقدير الزوجة الذاتية عملياً بإستخدام الحد التالي:

$$[\eta] = \lim_{c_p \rightarrow 0} \{ (\eta / \eta^*) - 1 \} / c_p. \quad (26)$$

$[\eta]$ لها وحدات مقلوب التركيز $(dm^3 g^{-1})$

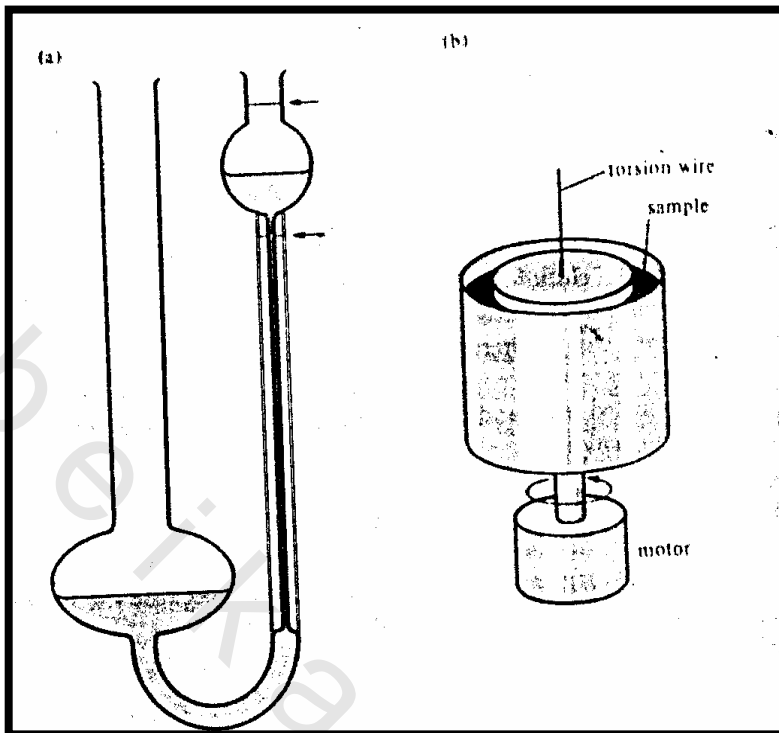
ويمكن أن تقام الزوجة بطرق مختلفة وتعتمد الطريقة العامة على جهاز أستوالد فسكومتر التي تتكون من أنبوبة شعرية تتصل مع خزانين الشكل (9a).

يقيس الوقت اللازم لانسياب محلول ويقارن مع عينة قياسية. وتعتبر الطريقة مناسبة للحصول على $[\eta]$ وذلك لأن النسبة بين زوجة محلول ولزوجة المذيب النقى تتناسب مع أزمنة الصرف t drain (إذا أجريت تصحيح للكثافات المختلفة ρ ، ρ^*).

$$\eta / \eta^* = (t_{\text{drain}} / t^*_{\text{drain}}) (\rho / \rho^*)$$

ويراعى أن نتأكد من أن درجة الحرارة ليست ثابتة فقط ولكنها متجانسة أيضاً.

يمكن أن تستخدم فسكوميترا على هيئة إسطوانات متحدة المركز ودوران شكل (9b). وتقام الزوجة بمراقبة عزم الدوران على الإسطوانة الداخلية. بينما تدور الإسطوانة الخارجية، تميز هذه الفسكوميترا على نوع أستوالد وذلك لأن تدرج الفص بين الإسطوانات يكون أكثر بساطة من طريقة الأنبوبة الشعرية. وعليه فإنه يمكن دراسة السلوك اللانيوتونى بسهولة .



شكل (9a, 9b) نوعان من مقياسات اللزوجة (a) أستوالد ، (b) الإسطوانة الدوارية

هناك الكثير من الصعوبات فى تفسير قياسات اللزوجة ومعظم (وليس كل) الدراسات تعتمد على الملاحظات البدائية. قياس لزوجة الحاليل المأخوذة من مذابات قياسية تستخدم لتقدير الكتل المolarية. فعلى سبيل المثال وجد أن البوليمرات الخطية والملفوقة إلى لفة كروية عشوائية في مذيبات θ تتبع القانون التالي: $\eta = KM^{\frac{1}{2}}$ وعلى العموم فإن ثوابت (الجدول 10) موضحاً به قيم K ، a ، r حيث أن $a = \frac{r^2}{K}$ والتى تعتمد قيمها على نوع المذيب والجزئيات الضخمة. هناك بعض التبريرات النظرية التى يمكن أن تناقش لهذه العلاقة. فللكرات الصلبة وجد أن $(a=0)$ بينما للأشكال العصوية فإن $(a=2)$ لذا فبتقدير قيمة

(a) نحصل على معلومات حول شكل الصنف في محلول. فعلى سبيل المثال محاليل البولى (γ - بنزيل - L - جلوتاميت) في شكلها العصوى والصلب لها رقم لزوجة أربع مرات أكبر منها في حالة العينات المحولة لصفاتها الطبيعية.

وفي هذه الحالة تهبط الأشكال العصوية إلى ملفات عشوائية والعكس صحيح فإن المحاليل الرابيونيكليز الطبيعية أقل لزوجة من تلك المحولة صفاتها الطبيعية.

وهذا يوضح أن الروتين الطبيعي يكون تركيبه أكثر تبلداً (متانة) من ذلك المحول صفاته الطبيعية.

مثال

لزوجة سلسلة من المحاليل البولى ستاييرين في القولوين قيست عند 25°C وكانت النتائج كما يلى :

| | | | | | | |
|--|------|------|------|------|------|------|
| $c_p / (\text{g dm}^{-3})$ | 0 | 2.0 | 4.0 | 6.0 | 8.0 | 10.0 |
| $\eta / 10^{-4} \text{ kg m}^{-1} \text{s}^{-1}$ | 5.58 | 6.15 | 5.74 | 7.35 | 7.98 | 8.64 |

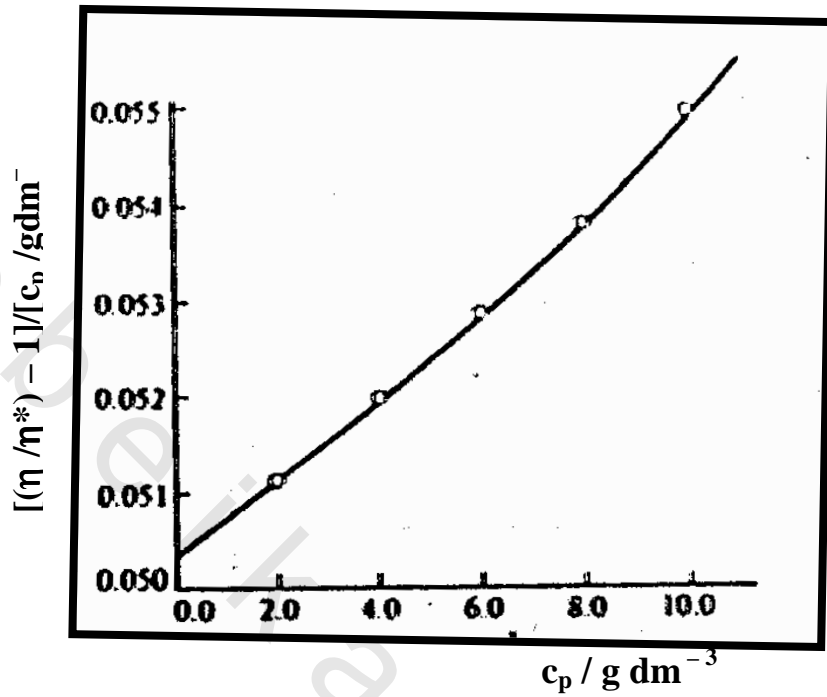
أوجد اللزوجة الذاتية للمحاليل ثم احسب R.M.M على أساس أن لزوجة محلول تبع العلاقة $\eta = KM^a$ حيث أن $K = 3.80 \times 10^{-5}$ ، $a = 0.63$ ، dm^3g^{-1}

الطريقة : للزوجة الذاتية هي حد القيمة التالية $c_p / [\eta - 1]$ حيث أن c_p تؤول إلى الصفر. لذا كون هذه النسبة ومد الخط على إستقامته إلى $c_p = 0$.

الحل

إرسم الجدول التالي :

| | | | | | | |
|---|---|--------|--------|--------|--------|--------|
| $c_p / (\text{gdm}^{-3})$ | 0 | 2.0 | 4.0 | 6.0 | 8.0 | 10.0 |
| η / η^* | 1 | 1.102 | 1.208 | 1.317 | 1.430 | 1.549 |
| $[(\eta / \eta^*) - 1] / (c_p / \text{gdm}^{-3})$ | - | 0.0511 | 0.0520 | 0.0528 | 0.0538 | 0.0549 |



شكل (10) تقدير الزوجة الذاتية

القراءات رسمت فى الشكل (10). الجزء المقطوع المتدا على تركيز $c_p = 0$ هو $0.0504 \text{ dm}^3 \text{g}^{-1} = [\eta]$. وبذلك فإن R.M.M. تعطى كالتالى:

$$M_r = ([\eta] K)^{1/a} = (0.0504 \text{ dm}^3 \text{g}^{-1} / 3.80 \times 10^{-5} \text{ dm}^3 \text{g}^{-1})^{1/0.63} \\ = 1326^{1.59} = 90450$$

التعليق: هذا هو متوسط R.M.M.

لاحظ أن :

$$\ln(\eta / \eta^*) = \ln[1 + (\eta - \eta^*) / \eta^*] \approx (\eta - \eta^*) / \eta^* = (\eta - \eta^*) - 1, \eta \approx \eta^*$$

لذا يمكن تحديد الزوجة الذاتية على أنها حد لقيمة $(\eta - \eta^*) / (1/c_p)$ عندما $c_p \rightarrow 0$. والجزء المقطوع يمكن تحديده بدقة برسم الدالتين.

R.M.M. ، الزوجة الذاتية

| Macromdecule | Solvent | t^θ/C | $K/10^{-2} cm^3 g^{-1}$ | a |
|--------------------------------------|---|--------------|-------------------------|------|
| Polystyrene بولي ستايروين | Benzene | 25 | 0.95 | 0.74 |
| | Cyclohexane | 34^θ | 8.1 | 0.50 |
| Polyisobutylene بولي أيزوبوليكلين | Benzene | 24^θ | 8.3 | 0.50 |
| | Cyclohexane | 30 | 2.6 | 0.70 |
| Amylose أميلاز | 0.33 moldm–3KCl | 25^θ | 11.3 | 0.50 |
| Various proleins + | Guanidine hydrochloride + β -mercaptoethanol – | | 0.716 | 0.66 |

θ : theta temperature

حرارة θ

حيث N هي عدد الأحماض الأمينية حيث N يستخدم العلاقة :

† : use $[\eta] = KN^a$, N the number of amino acid residue.

هناك أحد الصعوبات التي نصادفها هي أنه في بعض الأحيان وجد أن الزوجة تقل عندما يزيد معدل إنسياب محلول وهذا هو مثال على السلوك اللانيوتوني وهذا يدل على وجود جزيئات عصوية (شكل العصا) والتي تتحرف بالإنسياب لدرجة أنها تنزلق على بعضها البعض بحرية.

وفي بعض الأحيان فإن الضغوط القائمة بالإنسياب تكون كبيرة لدرجة أن الجزيئات الطويلة تتفق مع بعض التأثيرات على الزوجة.

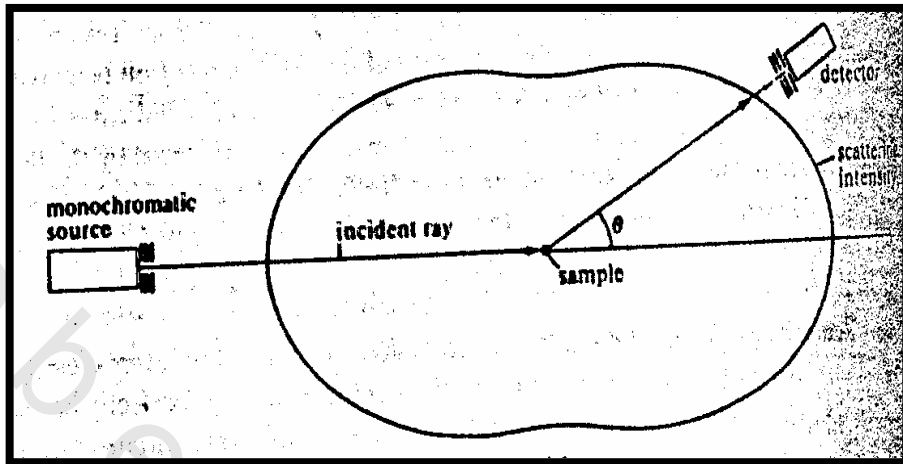
- التشتت الضوئي : Light scattering

عندما يسقط الضوء على مادة ما فإنها تقود إلكتروناتها إلى الذبذبة وبالتالي فإنها تصدر إشعاعاً. وإذا كان الوسط تمام التجانس (على سبيل المثال بلورة متكاملة) فإن جميع الموجات الثانوية سوف تتدخل فيما بعد عدا الإتجاه الأصلي للإنتشار. لذا فإنه الناظر يمكن أن يرى الشعاع فقط إذا نظرنا بالضبط على طول إتجاه الإنتشار (النمو). وبالمقارنة إذا كان الوسط غير متتجانس وذلك في حالة البلورات الغير متكاملة أو في

المحلول المحتوى على أجسام غريبة (الجزئيات الضخمة فى المذيب، الدخان فى الهواء.. وهكذا) يمكن الحصول على شعاع مشتت فى إتجاهات مختلفة.

فالفاصل حتى لو أنه لم ينظر على طول خط إتجاه الإنتشار المبدئى يمكن أن يرى الضوء بسهولة. والمثال المأثور هو رؤية الضوء المشتت عن طريق ذرات التراب المنتشرة فى شعاع الشمس. وفى الإعلانات المضاءة بأشعة الليزر فلنأخذ فى الإعتبار خصائص التشتت من دقائق أصغر كثيرةً من الطول الموجى λ للضوء الساقط. ويسمى هذا تشتت رايلي. يعتمد شدة التشتت على الطول الموجى $\frac{1}{\lambda^4}$ لدرجة أن الأطوال الموجية القصيرة تتشتت أكثر من الأطوال الموجية الطويلة. ويكون الإرتباط معروفاً على الأقل كيفياً من اللون الأزرق فى السماء فى النهار الذى تأتى من التشتت الأساس للمكونات الزرقاء فى ضوء الشمس عن طريق الذرات والجزئيات المنتشرة فى الجو. تعتمد الشدة أيضاً على زاوية المشاهدة θ (ثيتا) وتتناسب مع $(1 + \cos^2 \theta)$ وذلك عندما يكون الضوء الساقط غير مستقطب. لذا فإن أقصى شدة تحدث فى كل من الإتجاه الأمامي ($\theta = 0$) والإتجاه الخلفي ($\theta = 180^\circ$) شكل (11). ومن وجهة النظر العملية فإنه يبدو أنه من الأسهل إجراء المشاهدة فى الإتجاه اللاامامي. وتعتمد الشدة أيضاً على قوة تداخل الضوء مع الجزيئات. ويكون التداخل عالياً إذا كان الاستقطاب عالياً. وهذا هو السبب فى أن تشتت الضوء يكون مفيداً فى دراسة الجزيئيات الضخمة. فتكون الجزيئيات ضخمة وأكثر استقطاباً عن الوسط المحيط. وبالتالي فإنها تفضل التشتت عندما تجتمع كل هذه الظواهر فى نظرية كمية شدة التشتت ($I(\theta)$) عند زاوية قدرها θ هى :

$$I(\theta) = A I_0 \text{cp} M_r (1 + \cos^2 \theta) \quad (27)$$



شكل (11) تشتت رايلي من دقائق تشبه النقطة

حيث أن I_0 هي شدة الضوء الساقط ، c_p هي تركيز المذاب ، M_r هي $R.M.M$. لجزئيات الكبيرة ، A ثابت يعتمد على معامل إنكسار محلول والطول الموجى والمسافة بين الجهاز وخلية العينة. وهذه نتيجة تكون نموذجية حيث أنها تهم الصعوبات الناتجة من التداخل مع الجزيئات الضخمة وفى التجربة الحقيقية من المهم أن نمد المنحنى إلى إستقامته حتى ترکیز یساوی صفرأً.

والتطبيق الحقيقى لتشتت الضوء هو لتقدير الكتلة المولارية للمذاب. تقاد الشدة $I(\theta)$ لسلسلة من التركيزات. ثم نعين M_r من القيمة المحدودة $L_p/c_p(\theta)/I(\theta)$. وفي حالة الحينة عديدة التشتت تعطى هذه الطريقة متوسط الكتلة المولارية. فلابد أن نلاحظ أن المتوسط ليس هو المتوسط العددى الذى صادفناه فى القياسات الأسموزية ولكنه متوسط مختلف (المتوسط الكتلى $\langle M_r \rangle_M$ أو $\langle M_r \rangle_{R.M.M}$) وهذا يتحدد بكتل الجزيئات المنفردة الموزونة تبعاً لكنها (حتى تفرق بين أعدادها). نفرض أن الكتلة الكلية للمذاب هي M وأن كتلة الجزيئات التى لها M_i هى وبالتالي فإن متوسط الكتلة $R.M.M$. للعينة هي:

$$\langle M_r \rangle_M = \sum_i (M_{ri}/M) M_{ri} = (1/M) \sum_i M_i M_r \quad (28)$$

السبب فى أن تشتت الضوء يقدم الكتلة الموزونة $R.M.M$. هو أن شدة التشتت تكون كبيرة للدقائق الضخمة.

مثال

عينة من البوليمر تحتوى على مكونين موجودين بكتلتين متساوietan أحدهما لها $M_r = 30000$ والأخرى لها $M_r = 12000$. ما هي قيمة المتوسط الكتلى والمتوسط العددى $R.M.M.s$.

الطريقة: بإستخدام المعادلة (11) للمتوسط العددى والمعادلة (28) لمتوسط الكتلة. فإننا لدينا

$$M = M_1 + M_2, M_1 = M_2$$

النسبة الكتليلية هي :

$$M_1/M = \frac{1}{2}, \quad M_2/M = \frac{1}{2}$$

النسبة بالعدد هي :

$$N_1/N = (M_1/M_{ri}) / \{ (M_1/M_{r1}) + (M_2/M_{r2}) \}$$

أو

$$N_1/N = M_{r2} / (M_{r1} + M_{r2})$$

$$N_2/N = M_{r1} / (M_{r1} + M_{r2})$$

لأن :

$$M_1 = M_2$$

الحل

من المعادلة (11) نجد أن :

$$\begin{aligned} \langle M_r \rangle_N &= \sum_i (N_i/N) M_{ri} = 2 M_{r2} M_{r1} / (M_{r1} + M_{r2}) \\ &= 2 \times 12000 \times 30000 / (12000 + 30000) = 17143. \end{aligned}$$

من المعادلة (28)

$$\langle M_r \rangle_M = \sum_i (M_i/M) M_{ri} = \frac{1}{2} (M_{r1} + M_{r2})$$

$$= \frac{1}{2} (12000 + 30000) = 21000.$$

التعليق: لاحظ أن المتوسطين يعطيان نتائج مختلفة كثيراً بنسبة تصل إلى حوالي 1.2 . حيث أن N_i / M_{ri} ، متوسط الكتلة $R.M.M.$ يمكن أن تكتب على الصورة :

$$\langle M_r \rangle_M \left(1 / \sum_i N_i M_{ri} \right) \sum_i N_i M_{ri}^2$$

وعليه تكون (عدهاً) متوسط تربيعي $R.M.M.$

التجارب الخاصة بالترسب تعطى قيم $R.M.M.$ مختلفة، وتكون - $R.M.M. \text{ average}$

$$\langle M_r \rangle_Z \left(1 / \sum_i N_i M_{ri} \right) \sum_i N_i M_{ri}^3$$

حيث أنها المتوسط المكعب $R.M.M.$.

أوضح المثال أن هناك مشكلة في وجود نوعان من المتوسط. واللحظة هي أن قيمة $\langle M_r \rangle_M$ ، $\langle M_r \rangle_N$ مختلفان وتعطيان معلومات إضافية حول مدى من الكتل المولارية في العينة الواحدة. في تقدير الكتل المولارية للبروتين نتوقع أن يكون المتوسط متساويان لأن العينة أحادبية التشتت (إلا إذا كان هناك تفكك). أما البوليمرات المخلقة فيوجد هناك مدى من الكتل المولارية وبالتالي نتوقع اختلاف المتوسطات، ويتبين مدى المساهمات من القيم العددية لاختلاف. ففي المواد المخلقة النموذجية تقترب النسبة $\langle M_r \rangle_N / \langle M_r \rangle_M$ من 3. التعبير أحادي التشتت يمكن أن ينطبق على البوليمرات المخلقة والتي تصل النسبة فيها إلى أقل من 1.1 . وحيث أن المذااب مسئول عن تشتت الضوء خارج نطاق الإتجاه الأمامي للشعاع فإنه يتبع ذلك أن تنخفض شدة الضوء النافذ. تعطى

شدة الضوء النافذ عن طريق بانون لامبرت وبير: إذا كانت الشدة الإبتدائية هي I_0 ، الشدة التي تبقى بعد سفر الشعاع خلال مسافة من المحلول قدرها ℓ هي I_t نحصل على المعادلة التالية:

$$I_t = I_0 \exp(-\tau\ell) \quad (29)$$

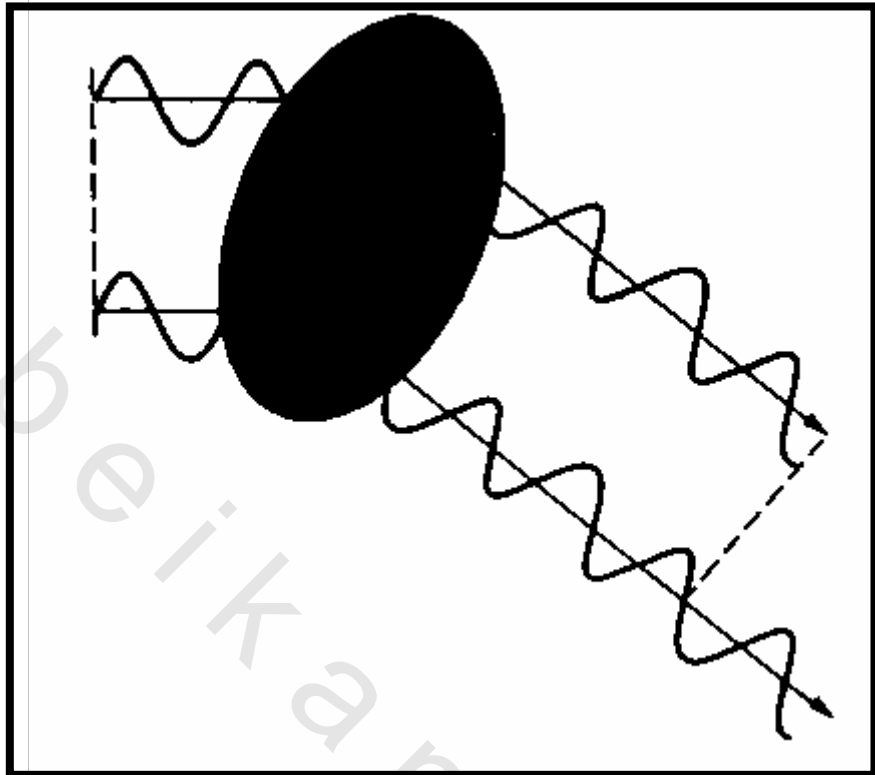
حيث أن τ هي العكارة. تزداد العكارة بزيادة قوة تشتت المحلول ويمكن أن تقدر قيمتها الحقيقية من المعادلة (27) بتقييم الكمية الكلية للضوء المشتت مزاهاً عن الإتجاه الإبتدائي. وهذا يؤكد أن $\alpha c_p M_r \tau$ وبالتالي تعتمد العكارة على الكتلة المolare للمذاب وعلى تركيزه.

القيم النموذجية للخاصية τ هي 10^{-5} cm^{-1} وذلك للسوائل الشفافة النقية (لدرجة أن العينة يكون طولها 1 km قبل أن تنخفض الشدة إلى $1/e$ من القيمة الإبتدائية بسبب التشتت فقط).

وعند هذه العطارة المنخفضة فإن الإمتصاص يكون أكبر من الإنخفاض في الشدة) فهى تصل إلى 10^{-3} cm^{-1} للبوليمرات عند تركيز قدره $1\% \text{ } 10 \text{ cm}^{-1}$ لمستحلب اللبن وهذا يعني أنك تستطيع أن ترى إلى عمق 1mm في كوب من اللبن.

والآن نحن نلتقط إلى الإعتبار الخاص بالمعلومات التي يمكن الحصول عليها من تجارب تشتت الضوء عندما لا يكون الطول الموجي مختلفاً كثيراً عن حجم الجزيئات المسئولة عن التشتت.

وعندما يكون حجم الدقائق قريباً من الطول الموجي، يحدث تشتت من مختلف المكونات. الشكل (12)

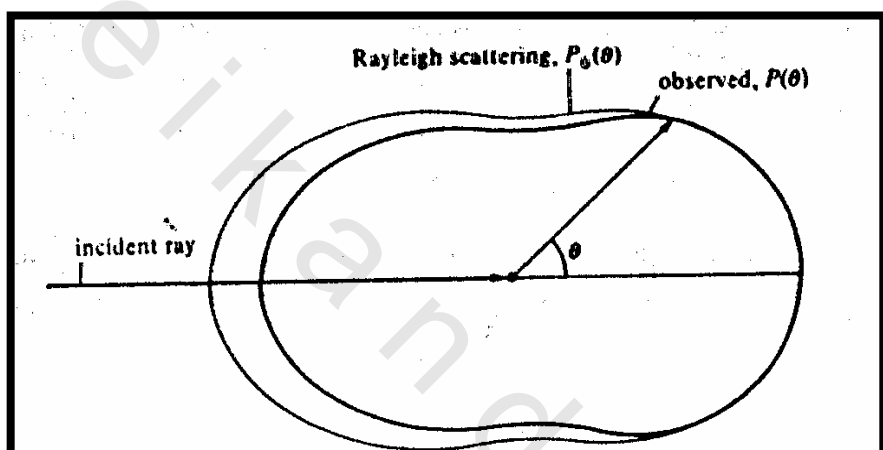


الشكل (12) التداخل بين موجات مشتتة بأجزاء مختلفة من الجزيئ العتم

وهذا التأثير يكون ظاهرة عامة كل يوم. فإنها توضح على سبيل المثال ظهور السحب بيضاء في السماء نحن نرى السحب بالضوء المشتت عنها ولكنها تختلف عن السماء في أنها لا تعتبر زرقاء اللون. والسبب في ذلك هو تجميع جزيئات الماء معاً إلى قطرات حجمها يساوى أو يزيد على الطول الموجي للضوء وتشتت تعاونياً. فعلى الرغم من أن الضوء الأزرق تكون قدرته على التشتت كبيرة، فإن الجزيئات الكبيرة يمكن أن تساهم تعاونياً في الطول الموجي الكبير (كما هو الحال في الضوء الأحمر)، وبالتالي فإن الضوء الأبيض يتشتت كضوء أبيض من السحب. وهذه الورقة تبدو بيضاء لنفس السبب. دخان السجائر يبدو أزرقاً في هواء الشهيق ولكنه يكون بنياً بعد عملية الزفير لأن الدقائق تتجمع في الرئتين. ومن الخصائص العظمى للدقائق ذات الحجم الكبير هي أنها

تحرف عن القيمة $(1 + \cos^2 \theta)$ والمميزة للدقائق الصغيرة (تشتت رايلي) الشكل (13) وتحليل الإرتباط الزاوي لشدة الضوء المشتت يعطى معلومات حول شكل الجزيئات الكبيرة في المحلول. ويركز التحليل على القيمة $P(\theta)$ وهي نسبة الشدة المشاهدة عند زاوية قدرها θ إلى الشدة المشتتة على أساس أن التركيب الكلي للجزيئ يتركز عند المنطقة الدقيقة (درجة أنها تتصرف كأنها مشتت رايلي) :

$$P\theta = I_{\text{obs}}(\theta) / I_{\text{Rayleigh}}(\theta) \quad (30)$$



الشكل (13) تشويه شدة الضوء المشتت عندما يقارن الطول الموجي بتغير الجزيئ إذا اعتربنا أن الجزيئ يتكون من تجميع للذرارات عند مسافات قدرها R_i من أصل ثابت. فإنه يمكن أن يحدث تداخل بين الموجات المشتتة عن طريق كل زوج من الذرات (الشكل 13). والطراز المشتت الكلي للعينة يمكن حسابه وذلك بأخذ المساهمات الكلية من جميع الإتجاهات المحتملة لكل زوج من الذرات. يمكن اعتبار النموذج المشتت على أنه نموذج تولد عن جزيئات كبيرة تعمل كأنها شبكة حيود، وهذا الوصف يتشابه مع الحسابات التي سبق أن قدرت عند شرح التشتت الإلكتروني، ماعدا بعض النقاط التفصيلية يتصرف الجزيئ في تشتن

الضوء مثل التشتت الإلكتروني. وعليه فإنه يتوقع أن $P(\theta)$ لها نفس شكل القيمة مثل معادلة ويرل فإذا كان هناك عدد من الذرات قدره (N) في الجزيء الكبير وبالتقريب حيث أن كل واحدة من هذه الذرات لها نفس قوة التاثير (التبعثر) وبذلك نحصل على العلاقة التالية :

$$P(\theta) = \left(1/N\right)^2 \sum_{i=1}^N \sum_{j=1}^N \sin(sR_{ij})/sR_{ij} \quad (31)$$

$$s = 4\pi / \lambda \sin \frac{1}{2} \theta$$

بالمقارنة R_{ij} هي المسافة بين ذرة i وذرة j ، λ هي الطول الموجي للضوء. والتعبير ببساطة هو $p(\theta) I_{Rayleigh} (\theta)$ حيث تقدر: بالمعادلة (27).

هناك تحويلان بسيطان للمعادلة الأخيرة ففي المقام الأول نفرض أن أبعاد الجزيء أصغر كثيراً من الطول الموجي للضوء وبالتالي يكون حاصل ضرب sR_{ij} أقل كثيراً من الواحد الصحيح (ذلك لأن s تتاسب مع $1/\lambda$). تمتد دالة $\sin(sR_{ij})$ كما يلى ...+...+ sR_{ij} ويبقى المقطع الأول في التقريب الحالى. لذا :

$$P(\theta) \approx \left(1/N\right)^2 \sum_{i=1}^N \sum_{j=1}^N (sR_{ij}) / sR_{ij} = \left(1/N\right)^2 \sum_{i=1}^N \sum_{j=1}^N = 1$$

وبمعنى آخر فإن تشتت رايلي الناتج عندما تكون أبعاد الجزيء أصغر كثيراً من الطول الموجي للضوء هو :

$$I_{obs} (\theta) = I_{Rayleigh} (\theta)$$

$$\text{وذلك عندما } P(\theta) = 1$$

والآن نعتبر شكل التشتت عندما يكون حجم الجزيء ما زال أقل كثيراً من الطول الموجي للضوء ولكنه ليس متاهياً في الصغر. بمعنى أن sR_{ij} لا تزال أقل كثيراً من الواحد الصحيح ولكنه يكون كبيراً بما فيه الكفاية لدرجة أن المقطع الثاني في القيمة :

$$\sin(sR_{ij}) = sR_{ij} - \frac{1}{6}(sR_{ij})^3 + \dots$$

يكون له معنى. حيث أن $\lambda = 500\text{nm}$ ، $sR_{ij} \approx 0.1$ ، وذلك عندما يكون حجم الجزيء تقريباً حوالي 50nm . وفي هذه الحالة يمكن التعبير عن $P(\theta)$ بالتالي :

$$P(\theta) \approx (1/N)^2 \sum_{i=1}^N \sum_{j=1}^N \left\{ 1 - \frac{1}{6}(sR_{ij})^2 \right\} = 1 - \frac{1}{6}(s/N)^2 \sum_{i,j} R_{ij}^2$$

مجموع مربعات الإنفصالات للذرات هي مربع متوسط نصف قطر الحركة التدويمية R_g للجزيء. التعبير الصحيح لذلك هو :

$$R_g^2 = (1/2N^2) \sum_{i=1}^N \sum_{j=1}^N R_{ij}^2 \quad (32)$$

ففي المسألة السابقة يشبه هذا التعريف تعريفاً آخر ويمكن ببساطة تخيله وذلك في سلسلة من الذرات أو مجموعات من كتل متساوية. نصف قطر الحركة التدويمية هي الجذر التربيعي لمتوسط مربع المسافة للذرات من مركز الكتلة وعليه :

$$P(\theta) \approx 1 - \frac{1}{3}s^2 R_g^2 = 1 - (16\pi^2/3\lambda^2) R_g^2 \sin^2 \frac{1}{2}\theta \quad (33)$$

توضح المعادلة الأخيرة أنه بتحليل إنحراف شدة الحيوان وذلك من شكل رايلي $1 + \cos^2 \theta$ الذي يؤدي إلى قيمة نصف قطر الحركة التدويمية للجزيء في محلول. وذلك يمكن تفسيره بصورة مقاطع لأبعاد الجزء إذا عرف شكله. فعلى سبيل المثال إذا كان الجزء كروي الشكل يرتبط نصف قطر التدويم R_g له بنصف قطره (R) بالعلاقة التالية :

$$R_g = (3/5)^{\frac{1}{2}} R$$

بينما إذا كان طويلاً يأخذ شكل العصا الرفيعة فإن طوله L يرتبط بالقيمة R_g بالعلاقة التالية :

$$R_g = L / \sqrt[2]{3}$$

ومرة أخرى يمكن أن يقام التحليل على قراءات مأخوذة بإمتداد سرعات التشتت إلى التركيز صفر. والحقيقة القائلة بأن كلًا من θ والتركيز متغيران تؤدي إلى طريقة تمدد مخصوصة تعرف بإسم رسمة زيم Zimm plot. بعض القيم مدونة في الجدول (11)

الجدول (11) نصف قطر الحركة التدويمية لبعض الجزيئات الكبيرة

| | R.M.M. | R _g /nm |
|--|-----------------------|-----------------------|
| Serum albumin مصل زلال البيض | 66000 | 2.98 |
| Myosin الميوسين | 495000 | 46.8 |
| Polystyrene بولي ستايروين | 3.2 x 10 ⁶ | 49.4(in poor solvent) |
| DNA دنا | 4 x 10 ⁶ | 117.0 |
| Tobacco mosaic virus فيروس التوباكو | 39 x 10 ⁶ | 92.4 |

والمثال على إنبعاج الشدة التي يسببه حجم الجزيء موضح في الشكل (10) وأمكن حساب هذا الإنبعاج على أساس نصف قطر الحركة التدويمية للجزيء على أنها 30 nm وأن الطول الموجي هو 500 nm

ويتبين شكل توزيع الشدة بحساب $P(\theta) = 1 + \cos^2 \theta$

وقد أدى تطوير الليزر إلى المزيد من التوضيحات في تطبيق وتفسير التشتت الضوئي في مجالات الجزيئات الضخمة. الإنحراف الواضح في التقرير ناحية إستجلاء اعتماد الأوضاع والإتجاهات على الزمن. السلوك الزمني للجزيئات يمكن دراسته بمراقبة الإنحرافات في التردد الذي يحدث عندما يتشتت ضوء ذات طول موجي معين وذلك من الجزيئات المتحركة. والتقنية العامة لهذا تسمى التشتت الضوئي الديناميكي. يستخدم التشتت الضوئي في التقدير المباشر لخواص الإنتشار للجزيئات الضخمة. وهذا يعطى طريقة سريعة و مباشرة لقياس معامل الإنتشار.

أ- الرنين المغناطيسي :

استخدمت في السنوات الحديثة تقنيات e.s.r. ، n.m.r. بنجاح كبير لتقدير تركيب الجزيئات الضخمة البيولوجية في محلول وفي هذه

الحالة يمكن تقدير الشكل العام للجزئيات بجانب أوضاع ذراتها والظواهر الحركية لها. وحيث أن الجزيئات البيولوجية تعمل في ظروف بيئية مختلفة (على سبيل المثال تحت ظروف متغيرة من الرقم الهيدروجيني) فإنه أمكن من خلال الرنين المغناطيسي تفسير الإستجابات للأشكال. والقراءات الأساسية من طيف الرنين المغناطيسي توضح أوضاع وأشكال الخط. أوضاع خطوط طيف $n.m.r.$ تعتمد على المجالات المغناطيسية المحلية وذلك عند بروتونات أو أنوية ذرة الكريون (13) (ومغناطيسية الأنوية الأخرى). وهذه الحالات أمكن تحويتها عندما كانت هناك مصادر أوسع للمجالات المغناطيسية، وذلك الذي يحدث عند وجود أيونات فلزات إنتقالية موجودة في الجزء. وتبدى الأنوية التي تعمل رنيناً مجالاً مغناطيسياً إضافياً بجانب ذلك المجال المطبق خارجياً وترتبط قوته بالمسافة بالعلاقة $(1/R^3)$ ويمكن تقدير المسافات بين الأنوية وذلك من الأيونات المدرسة. وأحد الصعوبات التي نواجهها هو أنه في الجزيئات التي تدور يعطى الإنحراف المسافة وليس الإتجاه ولكن يمكن حل هذه المشكلة وذلك بوضع الأيون في أماكن مختلفة ورسم شكل ثلاثي الأبعاد للأوضاع وذلك من خلال تجارب مختلفة.

تقع أدلة الإنحراف في عدة أنواع. التقنية المتقدمة تستخدم أيونات اللانثانيد ولكن ليس من الضروري استخدام أصناف بارامغناطيسية وذلك لأن المجال الخارجي المستخدم يمكن أن يستحدث عزوم مغناطيسية في مجموعات أرomaticية متصلة بالجزء. وهذه يمكن أن تكون مصادر للمجال المغناطيسي. ومن ضمن الصعوبات مشكلة معرفة موقع الأيون أو المجموعة الفعالة كمصدر لمجال الحيود ولكن ذلك يمكن التغلب عليه بأخذ فكرة مبدئية عن تركيب الجزء (من الدراسة بالأأشعة السينية على العينة الصلبة). والمشكلة الثانية هي معرفة الإستبدال كصورة من التركيب الهندسى أو الإلكتروني.

التمدد هي خاصية أخرى لخط الرنين المغناطيسي. ويرتبط التمدد في الخط بزمن الإستراحة، وتقيس التقنيات الحديثة زمن الإستراحة مباشرة. ويعتمد زمن الإستراحة على كل من قوة المجال المغناطيسي المسبب للإسترخاء وعلى السرعة التي يتحرك بها الجزيء في محلول. كفاءة الإستراحة لثنائي القطبية المغناطيسي المتصلة بالجزيء تعتمد على المسافة وذلك من العلاقة R^6 . وبدراسة أزمنة الإستراحة للأنيونية المترددة في وجود مجموعات بديلة بارامغناطيسيّة فإن إنفصالها يمكن أن يتضح كما في حالة الفحوصات الدقيقة للإنحراف. فإذا كان ذلك لمجموعة من مواقع التعويض فإنه يمكن شرح شبكة الإنفصالات على اعتبار أنها خريطة ثلاثية الأبعاد لموقع الأنيونية. فإذا أخذنا في الاعتبار لانثنائيات مرتبطة، أحدها يعطى فحص إنحراف مثلاً Eu(III) والآخر فحصاً متسعًا مثلاً Gd(III) والتي يفترض أنها مرتبطة بنفس الموقع، حيث أن الأولى ترتبط بالعلاقة R^3 ، والثانية بالعلاقة R^6 . ويمكن حينئذ الحصول على أنوبيات مغناطيسية.

يمكن فحص المركز البارامغناطيسي وتأثيره على الأنبيات المحيطة به وذلك بأزمنة الإستراحة لعزل الإلكترونون. وبالتالي فإن عروض خطوط الطيف تعتمد على سرعة الدوران للجزيء. وحيث أن ذلك ليس دوراناً حرًا في محلول فإنها تبدو وكأنها تدهوراً في الجزيء، يتضح حجم الجزيء الكبير من إتساع خط طيف الإستراحة لعزل الإلكترونون e.s.r. إذا كان الجزيء يدور مثل كرة نصف قطرها (a) في وسط لزوجته η وبالتالي فإن الوقت الللازم لتدوره τ_{rot} خلال واحد راد (57°) يعطى بالعلاقة

$$\tau_{\text{rot}} = 4\pi a^3 \eta / 3 kT \quad \text{التالية:}$$

فعلى سبيل المثال لكرة نصف قطرها 2 نانوميتر في الماء عند درجة حرارة الغرفة يكون τ_{rot} لها هو 8 ns. تقنية الـ e.s.r تكون حساسة لعمليات على هذا المقياس الزمني .

من الممكن أيضاً تحديد الشكل العام للجزئ الذى يحمل مركزاً بارامغناطيسياً عندما يكون هذا المركز هونيتروكسيد $\text{R}(\text{NO})\text{R}$ فإنها تسمى الجزيئات المعلمة بالغازل. وذلك لأن الجزئ فى هذه الحالة يمكن أن يدور بسرعة أكثر حول محوره عن باقى الجزيئات. هذا الدوران المتباين الخواص يمكن إستدراكه من شكل مليف e.s.r. للأصناف المعلمة بالغازل ويمكن تفسيره على ضوء الشكل الهندسى للصنف. وبنفس التقنية يمكن تحديد مرونة المجموعات من خلال الجزئ الكبير. بعض المجموعات لوجاتها أن تدور بحرية بينما الآخرين يكونون الآخرون مقيدون فى صورة جامدة وذلك للتدخل الفراغى. العلامات الغزلية تجعل من الممكن تقدير حجم وشكل الجزئ بالكامل وأيضاً مرونة تركيبه.

(1) - التكيف والشكل العام :Conformation and configuration

فى هذا الجزء نقوم بفحص بعض العوامل التى تؤثر فى الأشكال التى تبني عليها الجزيئ الضخمة. ومن المناسب تقسيم هذه الأشكال إلى التراكيب الأولى والثانوى وهلم جرا..

التركيب الأولى يعنى به التتابع فى المكونات الكيميائية التى تكون السلسلة. ففى البوليمرات المخلقة تكون كل الفواصل الكيميائية متشابهة ويكون كافياً تسمية المونومر الموجود فى المركب.

على سبيل المثال يكون التركيب الأولى للبولي إيثيلين هو وحدة CH_2-CH_2- والتركيب الكيميائى كسلسلة يمكن التعبير عنها كما يلى $-(\text{CH}_2\text{CH}_2)_n-$. مشتقات البولي إيثيلين يمكن تركيبيها الأولى هو $-(\text{CH}_2\text{CHR})_n-$ فـى حالة البولي ستاييرين فإن ($\text{R}=\text{phenyl}$) R تساوى مجموعة الفينيل. ظاهرة التركيب الأولى يمكن أن تكون ذات جدوى فى حالة الجزيئات الضخمة البيولوجية وذلك لأن هذه

المركبات فى الغالب تكون سلاسل لجزئيات مختلفة. البروتينات هى بولى ببتيدات والإسم الذى يوضح السلسلة يتكون من أعداد مختلف الأحماض الأمينية (حوالى عشرين حمض أميني موجود فى الطبيعة).

وترتبط الأحماض الأمينية مع بعضها برابطة الببتيد -CO-NH-. ويعتبر تحديد التركيب الأولى من المشاكل الصعبة فى التحليل الكيميائى. ولحسن الحظ فإن البروتينات عبارة عن سلاسل طويلة من الأحماض الأمينية وبالتالي فإن مشكلة التابع (تقدير ترتيب الأحماض الأمينية فى السلسلة) ليست مشكلة معقدة وخاصة فى الحالات التى فيها تتواجد شبكات ثنائية أو ثلاثية الأبعاد.

الطبيعة الخطية ترتبط بالحقيقة القائلة بأن التخلق البيولوجي للجزئيات الطبيعية تكون محكومة بالـ DNA والتى نفسها تعتبر جزيئات متتابعة خطية.

التركيب الثانوى للجزئيات الضخمة يعود غالباً إلى ترتيباً فراغياً والمميز لوحدات التركيب الأساسية. التركيب الثانوى للجزئ المنفصل فى البولى إيثيلين يكون ملفاً عشوائياً، بينما فى البروتين فيكون الترتيب عالياً فى نظامه متعددًا فى الغالب بالروابط الهيدروجينية وتأخذ أشكال اللولب الحلزونى أو اللوح المنبسط فى عقد الجzej.

سنقوم بدراسة التركيبين فيما بعد. فعندما تتحطم الروابط الهيدروجينية فى البروتين (على سبيل المثال بالتسخين مثل الذى يحدث عند تسخين البيض) فإن التركيب يفقد طبيعته ويتحول إلى ملف عشوائى. الفرق بين التراكيب الأولية والثانوية يرتبط بالفرق بين الشكل العام والتطابق فى السلسلة. يرجع الشكل العام إلى مظاهر التركيب الذى يمكن أن يتغير فقط بتكسير الروابط وتكوين روابط جديدة. فالسلسلة -A-B-C- لها شكل عام مختلف عن السلسلة -A-C-B-. التطابق أو التكيف معناه التركيب الفragi للأجزاء المختلفة

وبالتالى يمكن أن ينتقل تطابق السلسلة إلى آخر وذلك بدوران أحد أجزاء السلسلة حول الرابطة التى تصلها بالآخر. تغير طبيعة البروتين هو تغير تكيفى وليس تشاكلى. التركيب الثانوى للبوليمر مثل البولى إيثيلين متغير لأن التكيف يمكن أن يتغير إلى آخر كنتيجة للحركات الحرارية فى السلسلة نفسها أو كنتيجة للتداخل مع الوسط المحيط مثل المذيب الذى يذوب فيه البوليمر. وبالمقارنة فإن التكيف أو التطابق الذى يعطيه البروتين يستقر أو يثبت بالروابط الهيدروجينية ويعتبر التركيب الثانوى ظاهرة حيوية للوظيفة البيولوجية. التركيب الثالثى للبروتين يعود إلى التركيب ثلاثى الأبعاد الكلى للجزئ. فعلى سبيل المثال يوجد كثير من البروتينات لها تركيب حلزونى كتركيب ثانوى ولكن فى كثير من هذه الأشكال الحلزونية هناك شيات فى كثير من الموضع وبالتالي يكون الناتج هو بروتين كروى فالترتيب المكتب والذى ييدو حلزون منشى هو تركيب ثالثى للبروتين. التركيب الرابعى يعود إلى الطريقة التى تتكون بها بعض الجزيئات وذلك بالجمع بين السلاسل البسيطة إلى تركيب أكثر تعقيداً. المثال المشهور على ذلك هو الھيموجلوبين. يتكون من أربع تحت وحدات لنوعين مختلفين. ويرمز لها بسلاسل α ، β وهى مرتبطة بقوة باليوجلوبين.

(2) - الملفات ، الحلزونات ، الشرائح المنبسطة :

عند دراسة المظاهر المختلفة فى تركيبات الجزيئات الضخمة فلنأخذ فى الاعتبار التعبير الكيفى للسلسلة لوحدات متشابهة والتى لا تكون روابط هيدروجينية أو أى شكل آخر من أشكال الروابط. والمثال المعروف هو بولى الإيثيلين ولكن الخلاصة النهائية يمكن أن تطبق على البروتينات اللاطبيعية. سوف نهدف إلى دراسة الحجم لمركب على هيئة ملف حلزونى، لأن هذه الخاصية يمكن تقديرها عملياً وتحدد بعض الخواص مثل التغير فى التركيب.

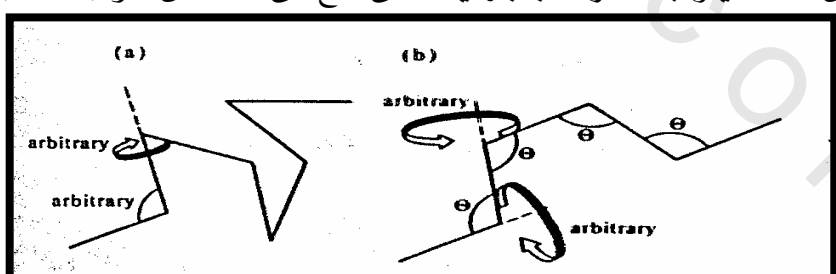
والنموذج البسيط لبوليمير مكون من سلسلة من ملف عشوائي هو السلسلة المتصلة بفوائل حرة. حيث أن كل رابطة حرة في تكوين زاوية بالنسبة لسابقتها شكل (14a) وهذا تبسيط كبير، وذلك لأن الرابطة هي في الحقيقة تتبع إلى قمع من الزوايا حول إتجاه الأخرى. شكل (14b).

وبالتالي نرى أن النموذج المقترن يكيف نفسه إلى الحالة الحقيقية. وال نقطة الهمة التي نلاحظها هي الشبيه أو النظير الحقيقي للمشكلة الأساسية للسير العشوائي ثلاثي الأبعاد. تمثل كل رابطة خطوة في إتجاه عشوائي. وللفرض الحالى يكون كل ما نحتاجه هو النتيجة المركزية الخاصة بإحتمالية نهايات السلاسل (المسافة النهاية التي يقطعها السائر عشوائية) وهي تقع في المدى من r إلى $(r + dr)$ وهي عبارة عن $f(r) dr$ والمبينة في المعادلة التالية:

$$F(r) = \left(\frac{a}{\pi^{\frac{1}{2}}}\right)^3 4\pi r^2 \exp(-a^2 r^2), a^2 = 3/2 N \ell^2 \quad (34)$$

حيث أن N هي عدد الروابط (عدد الخطوات)، ℓ هي طول الرابطة (طول كل خطوة). من الواضح أنه في المعادلة الأخيرة نجد في بعض الملفات أن النهايات تفصل بمسافات كبيرة بينما في البعض الآخر يكون الإنفصال صغيراً. ويعطي هذا التغير نسبة كل نوع.

وفي تفسير آخر نأخذ في الإعتبار كل ملف يتحول تدريجياً من كيفية إلى أخرى وعليه فإن $f(r) dr$ هي الإحتمالية القائلة بأنه عند كل لحظة يتواجد المركب بنهايته التي تقع في المدة من r و $(r + dr)$



الشكل (14b)، (14a)، الشكل

(a) سلسلة حرة الفوائل ، (b) سلسلة محكومة بزاوية تكافؤ ثابتة θ

نحتاج لبعض القياسات لمتوسط الفصل لنهايات الملفات العشوائية، الجذر التربيعي لمتوسط مربع الفصل لنهايات للسلسلة R_{rms} هى إحدى هذه القياسات. ويمكن حسابها بأخذ متوسط الفصل (R) على طول قيمها الممكنة تبعاً لتعبيرات الإحتمالية [المعادلة (34)].

$$R_{rms} = \left\{ \int_0^{\infty} R^2 f(R) dR \right\}^{1/2} = N^{1/2} \ell \quad (35)$$

وهناك قياس آخر لكتلة الجزيء وهو نصف قطر الحركة التدويمية. وهذا يمكن حسابه أيضاً بالإعتماد على المعادلة (34) بالنتيجة التالية:

$$R_g = N^{1/2} \ell / \sqrt{6} \quad (36)$$

والخاصية الأساسية لهذه النتائج هي إعتمادها على N . كلما زاد عدد وحدات المونومر يزداد حجم الملف العشوائي على صورة $N^{1/2}$ (وحجمه على الصورة $N^{3/2}$).

مثال

إحسب متوسط الفصل والجذر التربيعي لمتوسط الفصل لنهايات في بوليمر على هيئة سلسلة ذو وصلات حرة تحتوى على عدد من الروابط قدرها N بطول قدره ℓ .

الطريقة: بإستخدام المعادلة (34) فى التعبير التالي :

$$\langle r^n \rangle = \int_0^{\infty} r^n f(r) dr$$

ثم إحسب $\langle r^2 \rangle$ ،

وذلك لمتوسط قيمة r^n

الحل

$$\langle r^n \rangle = (a / \pi^{1/2})^3 4\pi \int_0^{\infty} r^{2+n} \exp(-a^2 r^2) dr.$$

استخدم العلاقة التالية :

$$\int_0^{\infty} r^3 \exp(-a^2 r^2) dr = \frac{1}{2} a^4 ; \int_0^{\infty} r^4 \exp(-a^2 r^2) dr = 3\pi^{1/2} / 8a^5$$

لحساب :

$$\begin{aligned} \langle r \rangle &= 2/a \pi^{1/2} = (8/3 \pi)^{1/2} N^{1/2} \ell \\ \langle r^2 \rangle &= 3/2 a^2 = N \ell^2 \quad \text{أو} \quad \sqrt{\langle r^2 \rangle} = N^{1/2} \ell \end{aligned}$$

التعليق: عندما تكون السلسلة ليست ذات فواصل حرة، هذه النتائج تضرب في معامل. قبل الاستفادة من هذه الخلاصات مطلوب إزالة الأمور المنافية للمنطق والتي تسمح للروابط: أن تعمل زوايا مع بعضها البعض. وهذا يكون سهل جداً في حالة السلاسل الطويلة حيث أنه من الممكن اعتبار مجموعات من الروابط المتجاورة ويمكن أيضاً توقع إتجاهاتها. وعلى الرغم من أن الروابط المنفردة تكون مجبرة على كونها في قموع بزاوية Θ ، فإن العديد منها نتائجها يقع في إتجاه عشوائي. بالتركيز على المجموعات بدلاً من تلك المنفردة فإنه يحدث تحول إلا أن النتائج النهائية تكون هي نفسها كما هو الحال في المعادلات (35 ، 36) ولكن يوجد معامل آخر هو $1/(1 + \cos \theta)$ بالضرب في كل منهم. وفي حالة الروابط رباعية الأوجه حيث تكون الزاوية Θ هي 109.5° يكون هذا المعامل هو $2^{1/2}$ ولهذه الروابط نحصل على :

$$R_{rms} = 2^{1/2} N^{1/2} \ell , R_g = N^{1/2} \ell / 3^{1/2} \quad (37)$$

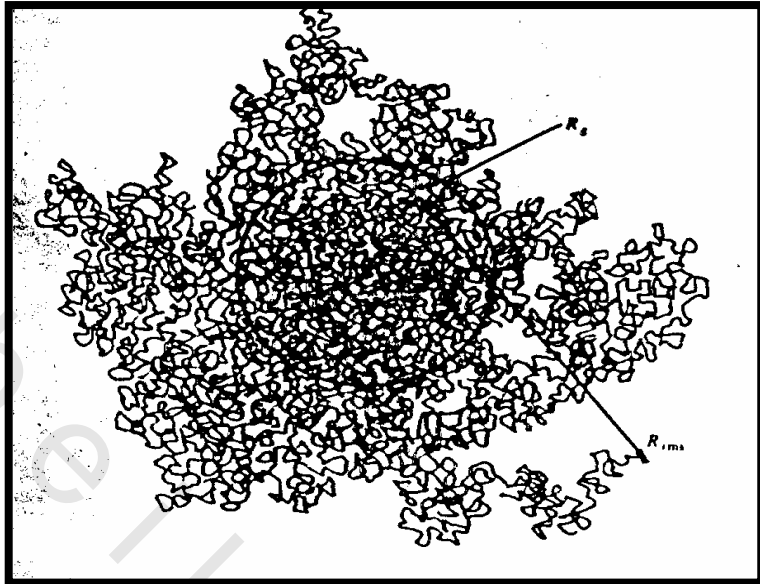
بأخذ (سلسلة البولي إيثيلين) كمثال لها :

$$M_r = 56000 , N = 4000$$

وحيث أن : $\ell = 154 \text{ pm}$ وذلك للرابطة $C - C$ نجد أن :

$$R_{rms} = 4.4 \text{ nm} , R_g = 1.78 \text{ nm}$$

هذاالجزئ واضح في الرسم (15)



الشكل (15) شكل (ملف عشوائى)

نموذج الجزيء الذى يكون على شكل ملف عشوائى يكون تقريبياً حتى بعد أن تحل المشكلة خلال التقييد على الزاوية. وذلك بسبب عدم إمكانية إحتلال ذرتان لنفس المكان. وهذا التحاشى الذاتى يميل إلى ان يجعل الملف منتفخاً وبالتالي فإنه من المفضل اعتبار كلاً من R_g ، R_{rms} كحدود دنيا للقيم الحقيقية وهناك أبعد من ذلك هو أن النموذج يهمل تماماً دور المذيب.

المذيب الفقير يسبب إنعقاد الملف لدرجة أن تماس الجزيء الكبير مع المذيب يكون في أدنى درجاته. بينما يعمل المذيب الجيد عكس ذلك. الملف العشوائى هو أقل شكل تركيب لسلسلة البوليمر. وبالتالي فهى تقابل أقصى حالة لأنتروبى التشكيل. أي إمتداد للملف يقدم نظاماً وبالتالي يقابل نقصان في الأنتروبى. وعلى العكس من ذلك يكون ملف عشوائى من الشكل الأكثر إمتداداً هي عملية طبيعية وتلقائية. مساهمات الإنثالبي لا تتدخل معها). مرونة المطاط الكامل (التي فيها

الطاقة الذاتية لا تعتمد على التمدد) الملف العشوائي يعتبر نقطة بداية هامة وفعالة لشرح رتبة القيمة للخواص الهيدروديناميكية للبوليمرات وكذلك تعتبر طبيعة الجزيئات الضخمة في محلول والحالة القصوى الأخرى للتركيب هو اعتبار أن التركيب الطبيعي للجزيئات الضخمة مثل البروتينات والـ (DNA). الجزيئات الضخمة الطبيعية تحتاج إلى تراكيب مستقرة ومختصرة وإلا فإنها لا تستطيع أن تقوم بعملها.

وهذه هو المشكلة الكبرى في تخلق البروتين، وذلك على الرغم من إمكانية تحقيق التركيب الأولى. ويكون الناتج غير نشيط (فعال) وذلك لأن التركيب الثانوى لا يزال غامضاً.

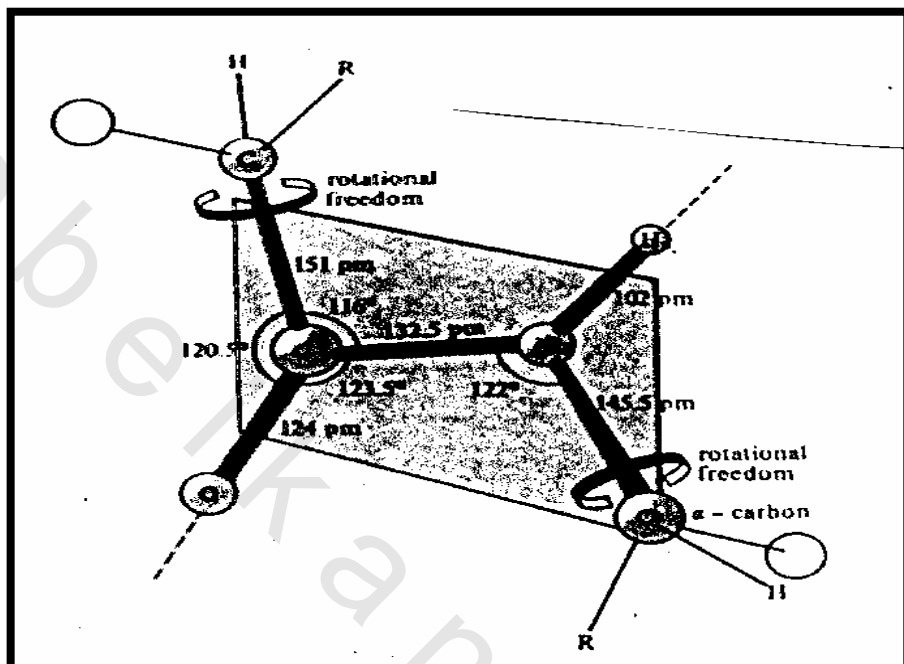
(3-i- الخصائص الأساسية للstruktureن الثانوية للبروتينات :

يمكن تلخيصها في مجموعة القواعد التي وصفها كلاً من بولينج وكوري. والخاصية الأساسية هي استقرار تركيب الروابط الهيدروجينية بدءاً من رابطة البيتيد. وهذه الرابطة يمكن أن تقوم بعمليتان وهما : إما معطية لذرة الهيدروجين (وهذه هي NH في الرابطة) أو تعمل كمستقبلة (وهذا يمثل الجزء CO). توضح النقاط كالتالي:

(a) الذرات في الرابطة البيتيدية تقع في نفس المستوى (الشكل 16).
(b) ذرات النيتروجين والهيدروجين والأكسوجين في الرابطة الهيدروجينية تقع في خط مستقيم (إزاحة ذرة الهيدروجين المحمولة وذلك بزاوية لا تزيد عن 30° من إتجاه O-N).

(c) تستغل في الرابطة كل مجموعة (NH) وكل مجموعة (CO).
ودلائل هذه النقاط هي إمكانية وجود تطابقين (تكيفين): إدراهما تتكون فيه الرابطة الهيدروجينية بين الروابط البيتيدية لنفس السلسلة وهي عبارة عن اللولب أو الحلزون المسمى بـ α -helix والآخر ترتبط الرابطة الهيدروجينية في السلسلة البولى بيتيد المختلفة وهو عبارة عن لوح مطوى يرمز له بالرمز β pleated sheet β -sheet.

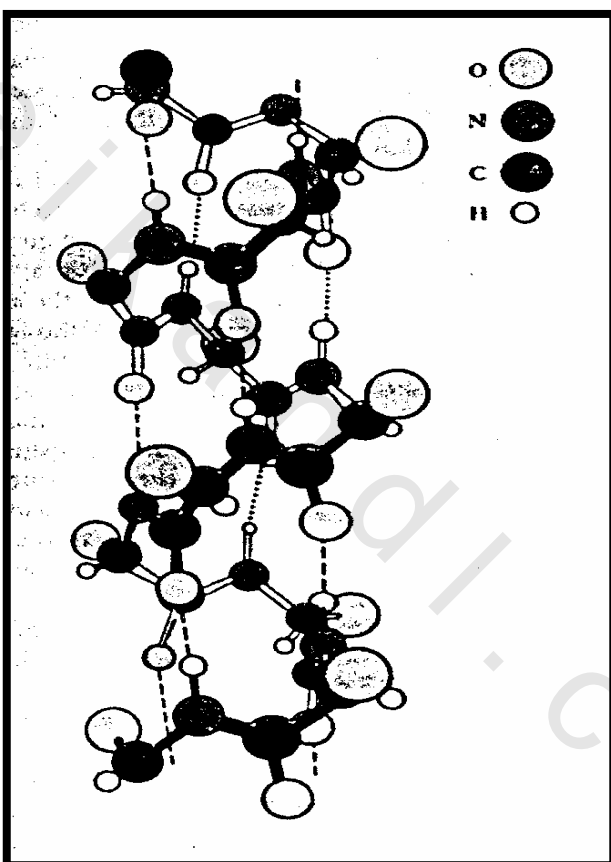
وهي عبارة عن التركيب الشانوى لليفة البروتينية وهى مكون
الحرير.....



شكل (16) أبعاد الرابطة الببتيدية

يوضح اللوب ألفا فى الشكل (17) ويحتوى كل منحنى من اللولب على 3.6 جزئ من الحمض الأمينى. وبالتالي تعادل مسافة مدة اللولب (5) تحويلات أو (18) جزء. يصل طول التحويلة الواحدة إلى (544 pm) أو (5.44A°) وتقع الروابط (N-H...O) موازية للمحور وتصل كل أربع مجموعات لدرجة أن المتبقى منفصل بزوايد (4-i) ، (i+4). هناك حرية للولب لكي يرتب إما أن يدور مسمار ملولب ناحية اليمين أو إلى ناحية اليسار ولكن الغالبية العظمى من البولى ببيتادات الطبيعية تمثل مسمار ملولب ناحية اليمين وذلك لزيادة الشكل (L) فى الأحماض الأمينية الطبيعية وللثبات الشروموديناميكى للولب ذو الدوران ناحية اليمين ولازال سبب ذلك غير معروف حتى الآن.

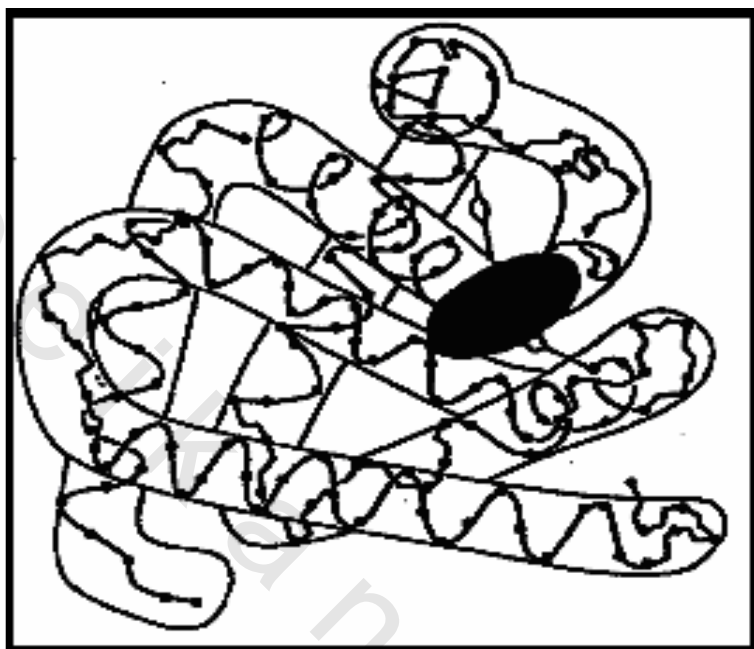
وتتطوى السلسل البولى ببىيدية اللولبية فى التركيب الثالث، وذلك إذا تواجدت مؤثرات ربط بين الأجزاء المتبقية من السلسلة والتى تكون من القوة بحيث تتغلب على الروابط الهيدروجينية المسئولة عن التركيب الثنوى وتتضمن الإنطواءات التأثيرية الرابطة ثنائية الكبريت (-S-S-)، والتدخلات الأيونية (التي تعتمد على الرقم الهيدروجينى للوسط المحيط)، وكذا الروابط الهيدروجينية القوية مثل (-O...H-O-).



الشكل (17) أيفا إهليجي (حلزون)

وهذه يوضحها تركيب الميوجلوبين. يقدر التركيب الكلى للجزئ عن طريق حيود الأشعة السينية وتقع كل 2600 ذرة في مكان معين. الإنطواء الناتج عن الروابط ثنائية الكبريت بين مختلف الأجزاء الخاصة

باللولب الأساسي (α) يمكن تمييزه في الشكل (18) حوالي 77% من التركيب يكون اللولب α والباقي يوجد في الإلتواءات.



الشكل (18) تركيب الميوجلوبين

البروتينات التي لها M_r تزيد عن حوالي 500000 توجد على هيئة تجمعات من سلسلتين بولي بيتيدية أو أكثر. وإمكانية هذا التركيب الرابع يحدث خلطاً في تقدير كتلها المolarية (حيث أن التقنيات المختلفة يمكن أن تعطى قيمًا تختلف فيما بينها بالمعامل 2 أو أكثر). المثال هو الهيموجلوبين الذي يكون له أربع سلاسل.

تحويل الصفات الطبيعية للبروتين يمكن أن يحدث بطرق مختلفة وتأثر بالتالي الظواهر المختلفة لتركيبياتها. التموج المستمر للشعر على سبيل المثال يمكن تمييزه على المستوى الرابع. والبروتين المكون للشعر هو عبارة عن شكل من أشكال الكيراتين وتركيبتها الرابع يعتقد أنه لللولب متعدد. حيث أن اللولب (α) ترتبط مع بعضها بروابط ثنائية

الكبريت وروابط هيدروجينية. وعلى الرغم من وجود بعض النوازع حول التركيب الحقيقي فإن الخاصية الخامسة للمناقشات الحالية هي تواجد الروابط. وتتضمن عملية التموج المستمر تحطيمهم وكذلك حل التركيب الرابع للكيراتين، ثم إعادة تكوينه إلى طراز أكثر تسيقاً. المداومة غالباً تكون مؤقتة. لأن تركيب الشعر الناتج حديثاً يكون محكوماً بالمعلومات الجينية وفي الواقع ينمو الشعر العادي بمعدل يتطلب على الأقل (10) لفات من لولب الكيراتين تتج كل ثانية. تحويل الصفات الطبيعية على المستوى الثانوي يمكن حصوله بأدلة أو مواد تحطم الروابط الهيدروجينية.

ويمكن أن تكفى الحركة الحرارية والتي ينظر عندها على تحويل الصفات الطبيعية على أنه إنصهار بين جزيئي. وعند طهی البيض تتحول الصفات الطبيعية للألبیومین بطريقة غير عكسية.

ويتحول البروتين لتركيب يشبه اللولب العشوائي. ويكون إنتقال اللولب أو الحلزون إلى الملف قاطعاً. مثل الإنصهار العادي.

وهذه لأن العملية تكون تعاونية فعندما تكسر إحدى الروابط الهيدروجينية فإنه من السهل كسر جيرانها وبالتالي يكون من الأسهل كسر جiranها وهكذا. ويكون التحطيم تعاقبي على طول اللولب. ويتم الإنتقال بحدة ويمكن تحويل الصفات الطبيعية كيميائياً. فعلى سبيل المثال إذا كون فإن المذيب رابطة هيدروجينية أقوى من تلك التي هي في اللولب فإنها سوف تنافس بنجاح مجموعات NH , CO , NH_2 للروابط.

يمكن تحويل الصفات الطبيعية في الأحماض كنتيجة لإنتقال البروتونات، أو في القواعد كنتيجة لنزع البروتونات لمختلف المجموعات الفعالة.

(4) i- الغروانيات Colloids (المحاليل الغروية) :

الغروانيات هى تشتیتات لدقائق صفیرة لأحد المواد فى مادة أخرى، والصغرى تعنى وتحصل إلى أقل من 500 نانومتر في القطر (حوالى تقريراً طول موجة الضوء). وهى فى العموم تجمعات للعديد من الذرات أو الجزيئات ولكنها فى الغالب صفیرة لدرجة يمكن معها رؤيتها بالميکروسکوب البصري. وهذه الدقائق تمر خلال معظم أوراق الترشيح. ولكنها يمكن إستدراکها بالبعثرة الضوئية، التربس، الأسموزية. والإسم الذى يعطى للغروانى يعتمد على طبيعة كل من الصنف المنتشر ووسط الإنتشار.

الصول عبارة عن تشتیتات للمواد الصلبة فى السوائل (مثل تجمعات من ذرات الذهب فى الماء)، أو صلب فى صلب (مثل الزجاج اليافوتى الذى هو عبارة عن ذهب فى صول الزجاج) ويكتسب لونه بالتبريد والإنتشار. الأيروصولات هى عبارة عن تشتیتات من السوائل من الغازات (مثل الضباب والعديد من الرشاشات) والمواد الصلبة فى الغازات (مثل الدخان) وتكون الدقائق من الكبر بحيث ترى تحت الميکروسکوب.

المستحلبات هى عبارة عن دقائق من السوائل منتشرة فى السوائل (مثل اللبن) وفي بعض الأحيان الرغawi و هي عبارة عن دقائق من غازات فى السوائل (مثل البيرة)، أو غازات فى مواد صلبة (مثل الحجر الخفاف) والتقسيم الثانوى للغروانيات هو إلى ليوفيلك (محب للمذيب) وليوفوبيك (كاره للمذيب). وعندما يكون المذيب هو الماء تسمى هييدروفيلك و هييدروفوبيك بالترتيب، الغروانيات الليوفوبية تشتمل عادة على صولات المعادن. الغروانيات الليوفيلية عموماً تكون لها تشابه كيميائى مع المذيب مثل مجموعات الهيدروكسيل وهكذا. والتى لها قدرة على تكوين روابط هييدروجينية. الجيلات هى كتلة نصف جامدة من الصول الليوفيلي والذى فيه يمتص كل وسط الإنتشار بدقائق الصول.

٥ـ التحضير والتقيية : Preparation and purification

تحضير الغروانيات من البساطة بحيث يشبه عملية العطس (التي تتجدد بوصول) الطرق المعملية والتجارية للتحضير تستخدم مختلف أنواع التقنية. يمكن للمادة أن تطحن في وجود وسط الإنتشار (على سبيل المثال محلول الغروى للكوارتز يحضر بهذه الطريقة). وتستخدم أيضاً الطرق الكهربية. وذلك بإمداد تيار عالى خلال خلية الكتروليتية يمكن أن تؤدى إلى تفتيت القطب إلى دقائق الغروى، وباستخدام القوس الكهربى بينقطبين من المعدن تحت سطح وسط ثابت يمكن أن تعطى غروى. يمكن تحضير صول من عناصر الأقلاء فى مذيبات عضوية بهذه الطريقة. الترب الكيميائى فى بعض الأحيان يؤدى إلى تكوين راسب الغروى. وبالمثل يمكن للراسب أن ينتشر بإضافة مادة ثالثة تسمى معامل الببتة. يمكن ليوديد الفضة أن تتشير إلى معلق غروى بإستخدام الببتة عن طريق إما يوديد البوتاسيوم أو نترات الفضة، يمكن للطفلة أن يحصل لها ببتة بالأقلاء. ويكون أيون الهيدروكسيد OH^- هي المادة الفعالة.

يمكن للمستحلبات أن تحضر برج المكونات الإشان معاً. يمكن استخدام مادة إستحلابية وذلك لثبات الغروى. والمادة الإستحلابية إما أن تكون صابون (حمض دهنى طول السلسلة)، منظف أو صول ليوفيلى له القدرة على تكوين غشاء واقى حول الصنف المنتشر. وفي حالة اللبن الذى هو مستحلب من الدهون فى الماء يكون عامل الإستحلاب هو الكازيين وهو بروتين يحتوى علىمجموعات فوسفات. ويعتبر الكازيين ليس ناجحاً كعامل إستحلاب بالدرجة المطلوبة لثبات اللبن. ويوضح ذلك من تكوين كريمة على سطح اللبن (القشدة). ويمكن التخلص من هذا بالتأكد من أن المستحلب قد انتشر وبدقة فى المكان الأول. الرج الشديد بإستخدام الموجات فوق صوتية يمكن أن يكون فعالاً، والناتج هو عبارة عن لبن متجانس. الأيروصولات تتكون عندما يتشتت رشاش

من السائل تحت تأثير فوارة من الغاز. ويمكن المساعدة على الإنتشار وذلك إذا استخدمت شحنة على السائل لأن التنافر الإلكترونيستاتيكي يجعل الفوار يتبعثر إلى قطرات متاهية في الصغر. وتستخدم هذه الطريقة أيضاً لتحضير المستحلب. ويمكن أن تستخدم لتحفيز مستحلبات وذلك لأن الوسط السائل يمكن أن يت Jennings إلى سائل آخر حيث تتفتت كهربياً.

تقى الغروانيات غالباً بطريقة الديلزة. والهدف هو إزالة الكثير (وليس كل) المواد الأيونية التي غالباً تكون مصاحبة لغروي أثناء التحضير. كما ورد في شرح تأثير دونان نختار غشاء يسمح للمذيب والأيونات بالنفاذ ولكن ليس للسواد الأعظم من دقائق الغروي. يستخدم غالباً السيليولوز في عملية الديلزة البطيئة جداً، ولذلك فإنها تسرع باستخدام شحنة كهربية. وتسمى التقنية بالديلزة الكهربية.

(6)- الخواص السطحية للفروانيات وقياس درجة الثبات لها :

الخاصية الهامة للفروانيات هي كبر مساحة سطح الصنف المنتشر مقارنة بنفس الكمية من المادة المدروسة. فعلى سبيل المثال فإن 1cm^3 من المادة مساحة سطحها هو 6cm^2 . ولكن عندما تتشر على هيئة مكعبات صغيرة طولها 10 nm فإن مساحة المسطح الكلية للـ 10^{18} مكعبات صغيرة هي $10^6\text{cm}^2 \times 6$. هذه الزيادة драмatic في المساحة تعنى أن تأثيرات السطح لها أهمية خاصة في كيمياء الغروانيات. النقطة الأولى التي يجب ملاحظتها هي أن المحاليل الغروانية غير ثابتة термодинاميكياً بالمقارنة بالوسط الكلى. وهذا ناجم عن وجود سطح كبير. وسوف نرى أن الشد السطحي يلائم مساحات سطوح صغيرة ($dG = \gamma d\sigma$) التي هي سالبة بنقصان مساحة السطح، ($d\sigma < 0$). الثبات الظاهري هو ناتج عن حركيات التهور أو الهبوط. الغروانيات ثابتة كيناتيكياً وليس ثرموديناميكياً.

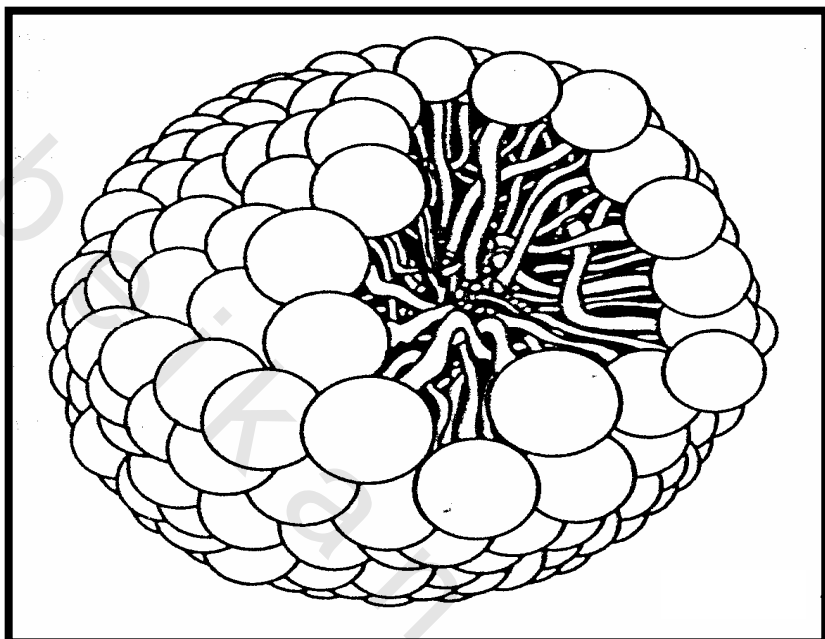
ومنذ الوهلة الأولى حتى الحيثية الحركية تبدو أنها فاشلة وذلك لأن دقائق الغروي تجذب بعضها بعضاً لمسافات كبيرة وعليه توجد قوة بعيدة المدى تميل إلى تجميع هذه الدقائق إلى فقاعة واحدة. والسبب وراء هذه العلاقة هي كما يلى: طاقة التداخل بين ذرتين منفردتين أحدهما في دقة الغروي تختلف مع عملية الفصل بالمعامل $1/R_{ij}^6$ (وهذه هي طاقة فان در فال للتشتت).

ولكن مجموع كل هذه التداخلات تعطى طاقة التداخل الكلية. وعند تقييم هذا المجموع فإن طاقة التداخل تنخفض فقط عند $1/R^2$. حيث R هو الفصل (المسافة) بين مركزى الدقائق الغروية وهى تعتبر أبعد مدى من $1/R^6$ المميزة للذرات المنفردة والجزيئات الصغيرة. هناك عوامل كثيرة تعمل ضد تداخل التشتيت البعيد المدى. فعلى سبيل المثال هناك غشاء واقى على سطح دقة الغروي التي تعطى ثباتاً للسطح الفاصل والتى لا يمكن إخراقتها عند تلامس الدقيقتان. فعلى سبيل المثال الذرات السطحية لصول البلاتين فى الماء تتفاعل كيميائياً وتحول إلى Pt(OH)_3 . وهذه الطبقة تحيط بدقة.

ويمكن للدهن أن يستحلب بالصابون وذلك لأن الطرف الهيدروكربوني الطويل يخترق قطرة الزيت ولكن الـ CO_3^- -مجموعات الرأس (أو المجموعات الهيدروفيلية الأخرى في المنظفات) تحيط بالسطح وتكون روابط هيدروجينية مع الماء. وإذا أمكن تكون محيط من الشحنة السالبة التي تتنافر مع الهرجوم المتوقع من دقائق مشحونة أخرى بنفس الشحنة.

يمكن لجزيئات الصابون أن تتجمع سوياً حتى في غياب قطرات الزيت أو الشحم وذلك لأن ذيولها الهيدروفيلية تميل إلى التجمع أما رؤوسها الهيدروفيلية فتكون الحماية السطحية. ويمكن لمائات الجزيئات أن تتجمع بهذه الصورة لتكون الميسيلة شكل (19). تكون الميسيلات

فقط فوق تركيز معين للنظام. ويسمى الحد الأدنى تركيز الميسيل الحرج (C.M.C). تكون هذه الميسيلة فقط إذا زادت درجة الحرارة عن النهاية الصغرى، وهي حرارة كرات الميسيلة للنظام.



الشكل (18) ميسيلة كروية الشكل

جزئيات المنظفات اللايونية في تجمعات مكونة من 1000 جزئ وأكثر ولكن ربما تجمع الأصناف الأيونية إلى أن تتحطم بالتأثيرات الإلكتروستاتيكية بين مجموعات الرأس. في الغالب تمتد في مجموعات تتراوح بين 10 ، 100 جزئ. النظام الميسيلي غالباً ما يكون عديد التشتت وتخالف شكل الميسيلات المنفردة بإختلاف التركيز. فعلى سبيل المثال تكون الميسيلات الكروية في أغلب الظروف بيضاوية بنسبة محورية تزيد عن (1:6) (أى أنها إلى حد ما تكون كرات مفلطحة) وذلك عند تركيزات تقترب من الـ C.M.C ولكنها تكون على شكل العصا عند تركيزات أعلى. وتشبه الميسيلة من الداخل قطرة

الزيت. وقد أشار الرنين المغناطيسي إلى أن السلسل الهيدروكربونية تكون متحركة ولكنها تكون أكثر تقيداً عنها في المقدار في الكتلة الكلية وتكون للميسيلات دوراً هاماً في كل من الصناعة والعمليات البيولوجية على أساس وظيفتها التذويبية. يمكن للمادة أن تتقل بالماء بعد ذوبانها في الدواخل الهيدروفوبية. ولهذا السبب فإن الأنظمة الميسيلية تستخدم كمنظفات، حاملات للدواء وللتخلص العضوي، التعويم بالرغوة، وتكلير البترول.

والديناميكا الحرارية لتكوين الميسيلة أوضحت أن إنتالبي التكوين في الأوساط المائية ربما يكون موجباً (أى أنها عملية ماصة للحرارة). وتتراوح قيمة ΔH_m بين واحد أو إثنين كيلو جول / مول للمنظف. وحيث أنها تكون فوق الـ C.M.C دليلاً على أن أنتروبي التكوين يكون موجباً وأن القيم المقاسة أوضحت أن ΔS_m يقع قريباً من $140 \text{ kJ mol}^{-1} \text{ K}^{-1}$ عند درجة حرارة الغرفة. وحيث أن التغير في الأنتروبي يكون موجباً حيث أن الجزيئات تجتمع في مجموعات دليلاً على كون المساهمات من المذيب حيث أنها يمكن أن تتحرك بحرية بمجرد أن يتجمع المنظف في مجموعات عنقودية.

بغض النظر عن الثبات الفيزيائى لدقائق الغروى فإن المصدر الأساسي للثبات الكينياتى هو تواجد شحنة كهربية على سطوحها. ولوجود هذه الشحنة، فإن الأيونات المختلفة الشحنة تميل إلى التجمع قريباً من بعضها البعض. ويكون بذلك وسط أيوني كما هو الحال في الأيونات العادية. ويمكن أن نميز منطقتين من الشحنات:

أولاً: هناك طبقة غير متحركة من الأيونات ملتصقة بقوة على سطح الدقيقة الغروية. وتتضمن جزيئات من الماء (إذا كان هذا هو الوسط المدعم). نصف قطر الوحدة من مركز الدقيقة الغروية إلى الكرة التي تملك هذه الطبقة الجامدة تسمى نصف قطر الحز وتعتبر عامل هاماً

لتقدير حركية الدقيقة. الجهد الكهربى عند نصف قطر الحز لقارنة بقيمتها عند مسافة ما من الوسط تسمى جهد زيتا أو الجهد الإلكترونيكيناتيكي. تجذب الوحدة المركزية المشحونة في جو أيونى عكس الشحنة وبالتالي يكون هناك سحابة مضغومة من شحنات مختلفة. ويعرف المدار الداخلى للشحنة والجو الخارجى بالطبقة المزدوجة الكهربية. ويوصف هذا الجو الأيونى بنفس الطريقة مثل نموذج ديباي هيكيل للمحاليل الأيونية. وعندما تكون القوى الأيونية للمحلول منخفضة يوصف الجو الأيونى على أنه كروي متجانس بسمك r_D وتسمى طول ديباي. ويتوقع أن يقل سمك الجو الأيونى بزيادة القوى الأيونية للوسط.

عندما تكون القوى الأيونية كبيرة يكون الجو الأيونى أكثر كثافة وينخفض جهد الدقيقة الغروفية إلى الصفر وبسرعة كبيرة: ولا يوجد حينئذ تناfar الكتروستاتيكي كافى لمنع الإقتراب الكبير بين دقيقتين غرويتين. ونتيجة لذلك يحدث تجلط (أو تجمع). تزيد القوى الأيونية بإضافة أيونات خصوصاً ذات التكافؤ العالى وبالتالي فإن هذه الأيونات تعمل كمواد تجلط. وهذا هو أساس القاعدة الأولية لشولتز وهاردى. وهى أن الغرويات الهيدروفوبية تتجلط بكفاءة بأيونات ذات شحنات مخالفة ويكون التجلط سريعاً إذا كانت الأيونات تحمل شحنات كبيرة. فأيونات الألومنيوم Al^{+++} فى الشبة تكون مؤثرة وتمثل أساس الأفلام المستخدمة لوقف نزيف الدم. وعندما ينساب ماء النهر المحتوى على غروى الطمى إلى البحر. يتسبب الملح فى إحداث تجلط (تجمع) وهذا هو السبب فى تكوين دلتا الأنهر عند مصبات الأنهر. وجد أن أكسايد العناصر تحمل شحنة موجبة، بينما صولات الكبريت والعناصر الثقيلة فإنها تحمل شحنة سالبة. الجزيئات الكبيرة الموجودة فى الطبيعة تحمل أيضاً شحنة عندما تتشتت فى الماء (كما هو الحال

فى الخلايا وليس فقط فى المعامل) والخاصية الهامة للبروتينات (وللجزئيات الكبيرة الطبيعية الأخرى) هى أنها تعتمد شحනاتها الكلية على الأس الهيدروجيني للمحلول، فعلى سبيل المثال فى الأجواء الحامضية تميل البروتونات إلى الإتصال بالمجموعات القاعدية وتكون الشحنة النهائية على الجزيئات الكبيرة هى الشحنة الموجبة. وفي الوسط القاعدى يحدث العكس. وتحمل الجزيئات شحنة سالبة، ونقطة تساوى الجهد الكهربى هو يكىن الرقم الهيدروجيني الذى لا توجد عنده شحنة ويكون الجزء عموماً متعادلاً.

مثال

سهولة حركة مصل الألبومين البوتين فى محلول المائى قيس عند قيم مختلفة من الأس الهيدروجيني pH. ما هى نقطة التعادل الكهربى للبروتين المدروس.

| | | | | | | |
|-------------------------------|------|------|-------|-------|-------|-------|
| pH | 4.20 | 4.56 | 5.20 | 5.65 | 6.30 | 7.00 |
| Mobility/ μms^{-1} | 0.50 | 0.18 | -0.25 | -0.65 | -0.90 | -1.25 |

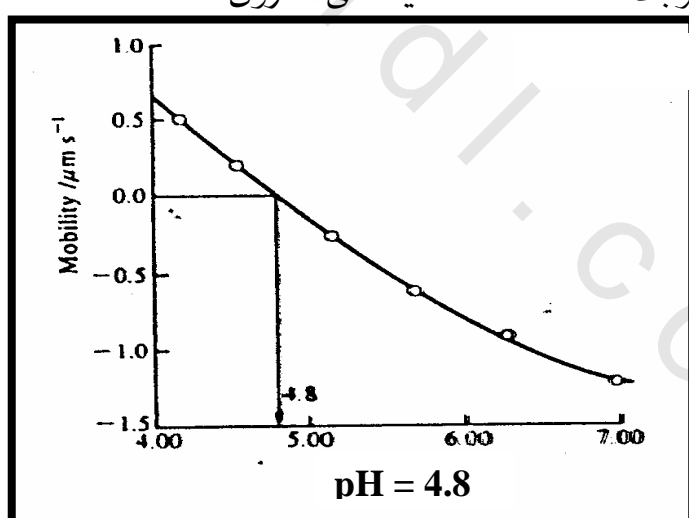
الطريقة: حركة البروتين الإلكتروفورية تكون صفراء عندما لا يكون مشحوناً لذا فإن نقطة تساوى الجهد الكهربى هو الرقم الهيدروجيني الذى عنده لا يتحرك البروتين فى مجال كهربى. إرسم سرعة الحركة مقابل pH. ثم أوجد من الرسم الرقم الهيدروجيني الذى عنده سرعة التحرك تكون صفراء.

الحل

من الرسم فى (20) سرعة التحرك تساوى صفراء عندما يكون $\text{pH}=4.8$ وعليه فإن هذه هي نقطة تساوى الجهد الكهربى.

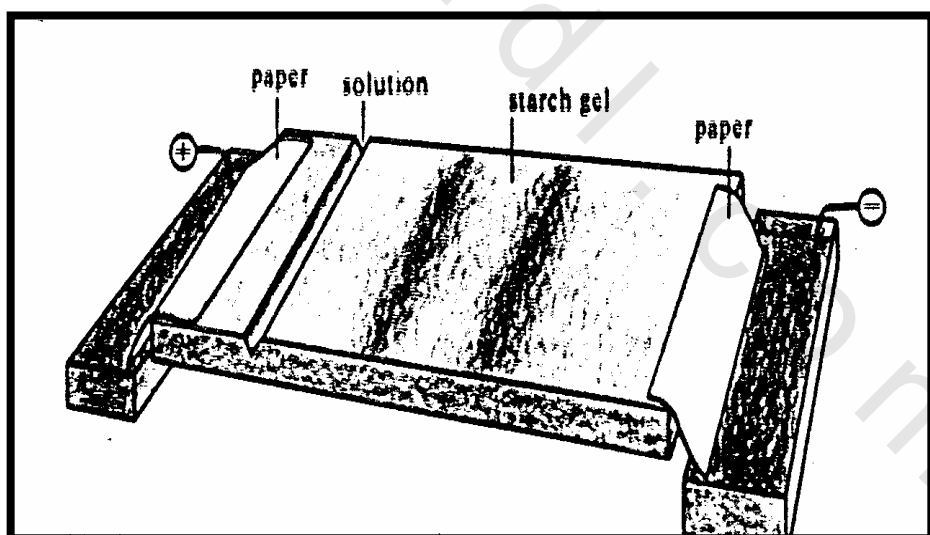
التعليق: فى بعض الأحيان تتعين نقطة تساوى الجهد الكهربى بمد المنحنى على إستقامته وذلك لأنه ربما لا يكون الجزء الكبير ثابتاً فى مدى كبير من الرقم الهيدروجيني. توضح نقطة الجهد الكهربى أن

الشحنة النهاية تأتى من البروتين بغض النظر عن تواجد الأيونات الأخرى (كمحلول منظم). فالدور الأولى للطبقة المزدوجة الكهربية هي إضفاء الثبات الكينياتيكي على دقائق الغروى والجزئيات الضخمة. الدقائق المتصادمة تتكسر خلال الطبقة المزدوجة وتتجمع فقط إذا كانت طاقة التصادم غير كافية لتحطيم طاقة التصادم ذو طاقة غير كافية لتحطيم طبقات الأيونات ومذاوبة الجزيئات أو في حالة عدم قدرة الحركة الحرارية على التواجد على سطح الشحنات المتراكمة. ويمكن حدوث ذلك عند درجات الحرارة العالية. حيث تترسب الصولات عندما تسخن. ومن جهة أخرى فإن دور الحماية للطبقة المزدوجة تفسر أهمية عدم إزالة الأيونات عندما ينقى الغروى بعملية الديلزة. ونتيجة لذلك يمكن للشحنة الكلية التي تحملها البروتينات أن تتغير بتغير الرقم الهيدروجيني، وبالتالي فمن المتوقع تطوير ثبات محاليلها. وهذا يفسر السبب لسهولة تجلط البروتينات عند نقطة تساوى الجهد الكهربى حيث لا توجد هناك شحنة كلية على الغروى.



شكل (20) حرکية البروتين كمعامل للرقم الهيدروجيني للمحلول.
نقطة تساوى الجهد الكهربى عند رقم هيدروجيني

وجود شحنة على سطح الدقايق الغروية وعلى سطح الجزيئات الضخمة الطبيعية لا تحفظ تلك الدقايق فقط ولكن تسمح لنا بالتحكم فى حركتها : من التطبيقات التى ذكرت سالفاً الدليزة الكهربائية والهجرة للشحنات الكهربائية (الإلكتروفوريسيز)، وبغض النظر عن دور تلك التقنيات فى تقدير الكتلة المولارية فإن الإلكتروفوريسيز لها العديد من التطبيقات التحليلية والتكنولوجية. واحد من التطبيقات التحليلية هى فصل مختلف مكونات الجزيئات الضخمة والجهاز المستخدم موضح فى الشكل (21). ومن التطبيقات التقنية دهان الأشیاء بواسطة قطرات مشحونة ومحمولة جواً. تحمل جزيئات المطاط شحنة عندما تشتت فى وسط الإنتشار ويمكن ترسيبها إلكترونياً على الأنود الذى يأخذ شكل المنتج المطلوب. المطاط المكون بطريقة الإلكتروفوريسيز يستخدم لعمل الآلات المطلوب فيها عدم النفاذية والحساسية لدرجة معينة ويتبين ذلك عند تصنيع الجوارب المستخدمة فى العمليات الجراحية.



الشكل (21) جهاز مبسط للإلكتروفوريسيز

(7) أ- المنظفات والشد السطحي :

تعرف الأصناف النشطة في أسطح الإنفصال بين سائلين بمواد ذات الفاعلية السطحية وتعتبر المنظفات من الأمثلة الهامة على ذلك، حيث أنها تعمل في السطح الفاصل بين الوسطين الهيدروفيلى والهيدروفوبى. ففي عملية التنظيف يتوقع الفرد أن تجتمع جزيئات هذه المادة الفاعلة عند السطح الفاصل بين الوسطين ونتيجة لذلك يتغير الشد السطحى. ويساعدنا الديناميكا الحرارية إلى الوصول إلى علاقة خاصة بين تجمع تلك الأصناف وتأثيرها على التوتر السطحى. فلنفرض أن لدينا صنفان متلامسان فعلاً فإننا سوف نركز على الأوساط السائلة إلا أن الحيثيات تكون عامة والنتائج النهائية يمكن تطبيقها على السطوح الفاصلة بين أي وسط.

ونرمز للأوساط بالرمز α ، β . وحجم تلك الأوساط هى $V^{(\alpha)}$ ، $V^{(\beta)}$. والنظام الكلى يتكون من العديد من المكونات J كل منهم يتواجد بكمية قدرها n_J ويكون دالة جيس الكلية للنظام هى G . إذا تم توزيع المكونات بتجانس خلال الأوساط والتى تصل إلى السطح الفاصل والذى ينظر إليه على أنه سطح محدد مساحته σ . ويعبر عن دالة جيس الكلية بالقيمة $G^{(\beta)} + G^{(\alpha)}$. ولكن المكونات ليست متجانسة وبالتالي فإن مجموع دالى جيس تختلف عن G بكمية تسمى دالة جيس السطحية $G^{(\sigma)}$:

بالمعادلة التالية :

$$G^{(\sigma)} = G - \{ G^{(\alpha)} + G^{(\beta)} \} \quad (38)$$

وبالمثل إذا احتوى الحجم الكلى على كمية $n_J^{(\alpha)}$ من J في الوسط α وعلى كمية $n_J^{(\beta)}$ من β . يعتبر الوسطان متجانسان بالنسبة للسطح الفاصل الإفتراضى. الكمية الكلية J تختلف عن مجموعهم بالكمية :

$$(24.4.2) \quad n_J^{(\sigma)} = n_J^{(\alpha)} + n_J^{(\beta)}$$

هذه الكمية الزائدة من المادة يعبر عنها بالكمية لـ كل وحدة مساحة من السطح وذلك بإدخال ما يسمى الزيادة السطحية Γ_J خلال العلاقة :

$$\Gamma_J = n_J^{(\sigma)} / \sigma \quad (40)$$

لاحظ أن كل من $n_J^{(\sigma)}$ ، Γ_J كلاهما موجباً (تجمع J عند السطح الفاصل بالنسبة للحجم الكلى) أو سالباً (النقص النسبي). والآن نستطيع الإبحار فى مجال الديناميكا الحرارية. التغير الكلى فى G يتم بالتغييرات فى T ، P ، σ ، أيضاً n_J .

$$dG = -S dT + V dp + \gamma d\sigma + \sum_J \mu_J dn_J$$

عندما تطبق هذه على G ، $G^{(\beta)}$ ، $G^{(\alpha)}$ وبالاستعانة بالمعادلة (38) نصل إلى العلاقة :

$$dG^{(\sigma)} = -S^{(\sigma)} dT + \sigma d\gamma + \sum_J \mu_J dn_J^{(\sigma)} \quad (41)$$

وعند الإتزان تتساوى الجهود الكيميائية للمكونات فى الأوساط المختلفة $\mu_J^{(\sigma)} = \mu_J^{(\alpha)} = \mu_J^{(\beta)}$. وذلك مثل الذى يحدث فى دراسة الكميات المولارية الجزئية. ويمكن لهذا التعبير أن يتکامل عند درجة حرارة ثابتة إلى الآتى:

$$G^{(\sigma)} = \sigma \gamma + \sum_J \mu_J dn_J^{(\sigma)}$$

نبحث عن رابط بين $d\gamma$ والتغير فى الشد السطحى والتغير فى التكوين. ثم نطبق معادلة جبس - دوهيم. وفي هذا الوقت بمقارنة المعادلة التالية :

$$dG^{(\sigma)} = \sigma d\gamma + \gamma d\sigma + \sum_J n_J^{(\sigma)} d\mu_J + \sum_J \mu_J dn_J^{(\sigma)}$$

بالمعادلة (41) حيث أن درجة الحرارة ثابتة ($dT=0$) نصل إلى الخلاصة التالية:

$$\sigma d\gamma + \sum_j n_j^{(\sigma)} d\mu_j = 0 \text{ at constant } T.$$

بـالقسمة على σ نحصل على العلاقة التالية :

$$\text{Gibbs surface tension equation : } d\gamma = - \sum_j \Gamma_j d\mu_j \quad (45)$$

يمكن وضع معادلة جبس بصورة مبسطة بالطريقة التالية: نفرض أن هناك بعضاً من المواد ذات النشاط السطحي مثلاً، منظف D يتوزع في نظام مكون من وسطين. نستخدم النظرية القائلة بأن كلاً من صنفي الماء والزيت ينفصلان بسطح هندسى تام. يتجمع المنظف على السطح. وحيث أن الزيادة السطحية لـكل من الماء والزيت هي على التوالي: Γ_{oil} وقيمتها تساوى صفرأً. تختصر معادلة جبس إلى الآتى : $d\gamma = \Gamma_{\text{water}} - \Gamma_D d\mu_D$ حيث أن μ_D هو الجهد الكيميائى للمنظف. للمحاليل المخففة تكون $d\mu_D = RT d\ln c_D$ حيث أن c_D هو تركيز المنظف وعليه نحصل على المعادلات:

$$d\gamma = -(RT/c_D) \Gamma_D dc_D \text{ or } (\partial\gamma/\partial c_D)_T = -RT \Gamma_D/c_D \quad (46)$$

يمكن دراسة هذه المعادلة كالتالى: إذا كان ميل المنظف للتجمع على السطح الفاصل كبيراً تكون زيارته السطحية موجبة وبالتالي فإن $(\partial\gamma/\partial c_D)_T$ تكون سالبة. بمعنى أن الشد السطحى يقل عندما يتجمع المذاب على السطح. والعكس صحيح عندما يكون معلوماً لدينا الإرتباط التركيز يمكن حساب الزيادة السطحية من المعادلة الأخيرة.

يمكن اختبار توقعات هذا النوع من المعادلات بطريقة بسيطة. وذلك بتقسيم السطح للمحلول إلى عدة شرائح رقيقة من المحلول، ثم تحليل مكوناتها وذلك لمعرفة الزيادة أو النقص في المادة الفاعلة السطحية. لوحظ أن النتيجة تتلخص في المعادلة الأخيرة والتي تعتمد على الفرض القائل بالسلوك المثالى. هناك حيوداً كبيراً عند تركيزات المنظفات المستخدمة عملياً. وهذا الجزء يمكن شرحه وذلك بالربط بين سلوك

السطح المثالي للصنف بالمعادلة (46) بمظاهر التركيب للمحاليل المثلالية والتى ذكرت فى الدراسة الخاصة بالغازات. عند تركيزات منخفضة من المنظر من المتوقع أن يتغير الشد السطحى خطياً مع التركيز وبالتالي نحصل على المعادلة :

$$\gamma = \gamma^* - K c_D$$

حيث أن K مقدار ثابت. فمن المعادلة (46) نصل إلى :

$$\Gamma_D = k c_D / RT = (\gamma^* - \gamma) / RT \quad (47)$$

وإذا رمزا للفرق $(\gamma^* - \gamma)$ بالرمز π وهو ضغط السطح فإن هذه المعادلة تصبح كالتالى:

$$\pi \sigma = n_D^{(5)} RT \quad (48)$$

وهي المعادلة المستخدمة للتعبير عن الغاز المثالي ثنائى الأبعاد ويمكن اعتبار الزيادة فى المذاب على السطح الفاصل فى المحاليل المخففة المثلالية كأنها تتصرف بنفس الطريقة التى تسلكها جزيئات الغاز المثالي والذى يرجع إلى سطح ثنائى الأبعاد.

(8) i- مرونة المطاط Elasticity of rubber

فتأخذ فى الإعتبار سلسلة بوليميرية أحادية الأبعاد حرفة الفواصل تكون الحالة ثلاثية الأبعاد أكثر من حقيقية. ولكن الحالة أحادية الأبعاد تمثل الخصائص الأساسية. بدون أن تكون متضمنة لذلك. تشكل السلسلة يمكن التعبير عنه بعدد الروابط المتوجهة إلى اليمين N_R وتلك المتوجهة إلى اليسار N_L المسافة بين نهايات السلسلة هي ℓ ($N_R - N_L$) حيث أن ℓ هى طول الرابطة المنفردة. نكتب :

$$n = N_R - N_L$$

ويكون العدد الكلى للروابط هو ($N = N_R + N_L$).

عدد طرق تكوين السلسلة وذلك من المسافة بين النهايتين n هى عدد طرق الحصول على الروابط N_R المتوجهة يميناً، N_L المتوجهة يساراً. وهذه هى معامل ثنائى الإتجاه.

$$W(n) = N! / N_R! N_L! = N! / \left\{ \frac{1}{2} (N+n) \right\}! \left\{ \frac{1}{2} (w-n) \right\}!, \quad (49)$$

يعبر عن إنترóبى التشاكل للسلسلة ببساطة كالتالى :

$$S = k \ln W(n) \\ S(n) / k = \ln N! - \ln N_L! - \ln N_R! \quad (50)$$

حيث أن الحاصل يكون كبيراً. تقرير ستيرلنج يصل إلى :

$$\ln x! \approx \ln (2\pi)^{\frac{1}{2}} + \left(x + \frac{1}{2} \right) \ln x - x \quad (51)$$

يمكن أن نستخدم وهذه الصورة هي أكثر دقة من :

$$\ln x! \approx x \ln x - x$$

وتعطى هذه العلاقة التالية :

$$S(n) / k = - \ln (2\pi)^{\frac{1}{2}} + (N+1) \ln 2 + \left(N + \frac{1}{2} \right) \ln N \\ - \frac{1}{2} \ln \{ (N+n)^{N+n+1} (N-n)^{N-n+1} \} \quad (52)$$

الشكل الأكثر إحتمالاً للسلسلة هو الشكل بنهايات تقترب من بعضها ($n=0$). كما أثبتت بالتفاضل. ولذلك فأقصى أنترóبى هو :

$$S(0) / k = - \ln (2\pi)^{\frac{1}{2}} + (N+1) \ln 2 + \frac{1}{2} \ln N \quad (53)$$

التغير فى الإنترóبى عندما تمتد السلسلة من هذا الشكل الأكثر إحتمالاً إلى نقطة مثل المسافة بين النهايات هي $n \ell$ هى :

$$\Delta S = S(n) - S(0) \\ = \frac{1}{2} k \{ \ln N^{N+1} N^{N+1} - \ln (N+n)^{N+n+1} (N-n)^{N-n+1} \} \\ = -\frac{1}{2} k N \ln \{ (1+v)^{1+v} (1-v)^{1-v} \}$$

حيث أن :

التغير فى الأنترóبى لوحدة من السلسلة هى :

$$\Delta S_m = -\frac{1}{2} N R \ln \{ (1+v)^{1+v} (1-v)^{1-v} \} \quad (54)$$

تذكرة أن N هي عدد الحلقات في السلسلة. يكون التغير في الأنترóبى سالباً لـ كل الإمتدادات. وبالتالي نخلص إلى أن إنكماش السلسلة إلى حالتها الحليزونية التامة هي عملية تلقائية. الشغل المبذول على قطعة من المطاط عندما تمتد إلى مسافة dx هو fdx حيث f هي القوة المخزنـة. القانون الأول يكون وبالتالي :

$$dU = TdS - pdV + f dx \quad (55)$$

وبالتالي نحصل على :

$$(\partial U / \partial x)_{T, V} = T(\partial S / \partial x)_{T, V} + f \quad (56)$$

في المطاط الحقيقي كما هو الحال في الفاز الحقيقي فإن الطاقة الذاتية لا تعتمد على الأبعاد عند درجة حرارة ثابتة وبالتالي يكون الجزء الأيسر من العلاقة هو الصفر ويمكن تحديد القوة المخزنـة كالتالي :

$$f = - T (\partial S / \partial x)_{T, V}$$

إذا استعملنا التعبير الإحصائى للأنتروپى نحصل على :

$$\begin{aligned} f &= - (T/\ell) (\partial S / \partial n)_{T, V} = - (T/\ell N) (\partial S / \partial v)_{T, V} \\ &= (RT / 2\ell) \ln \{ (1+v) / (1-v) \} \end{aligned} \quad (57)$$

وبالتالي فإن العينة تظهر سلوك قانون هوك تتناسب القوة المخزنـة طردياً مع الإزاحة. ولكنها تختلف عنها عند الإمتدادات العالية.
